



Abril 21 de 2020. 9:00 am

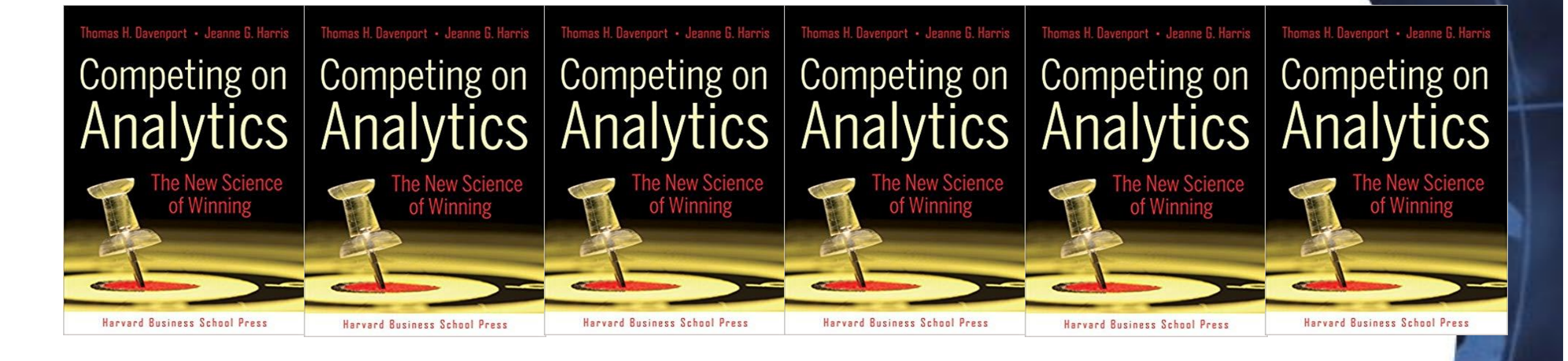
Invitados

Jesús Velásquez-Bermúdez, Ph. D.



COMPETING ON ANALYTICS & BIG-DATA

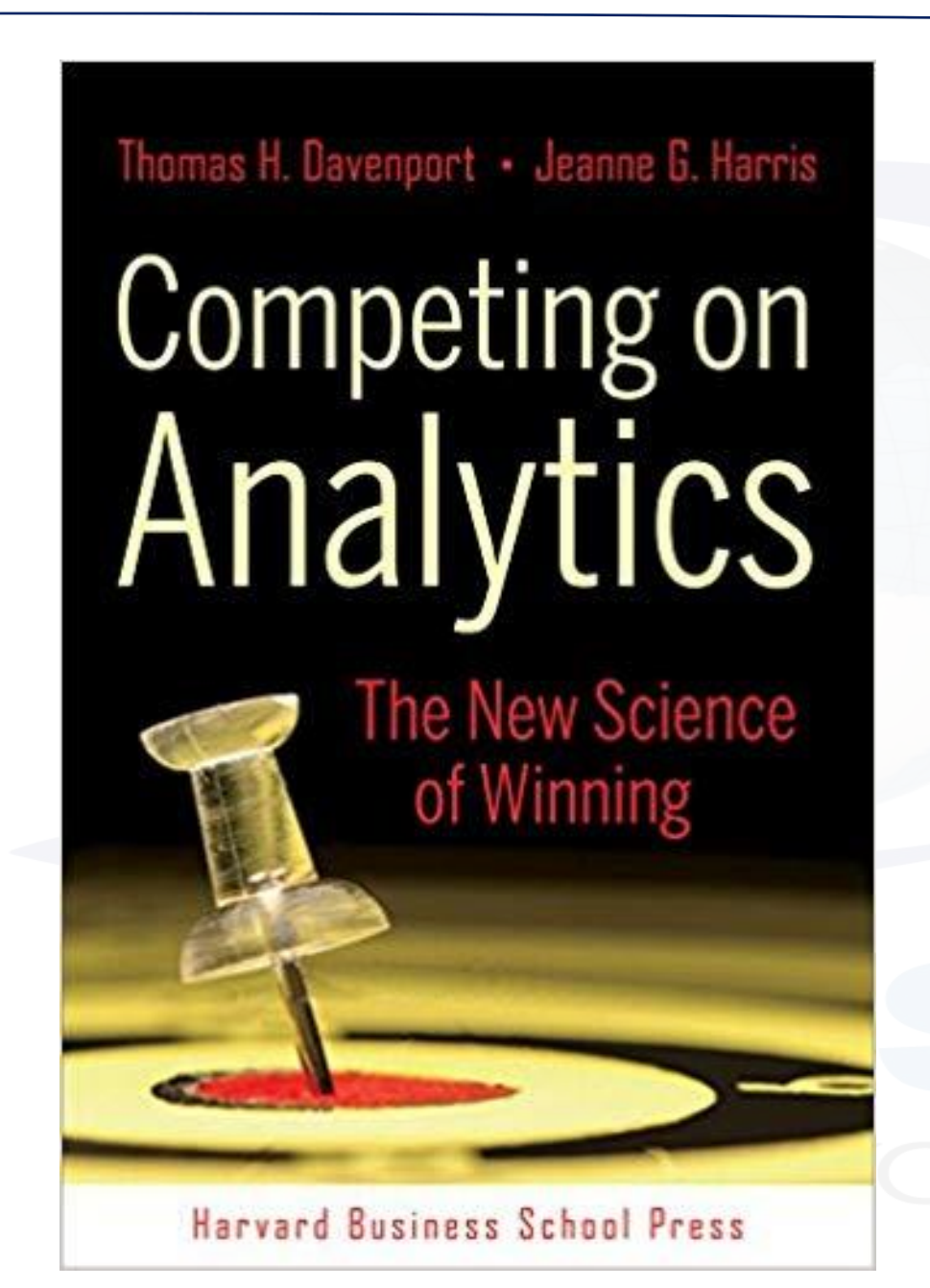
THE NEW SCIENCE OF WINNING

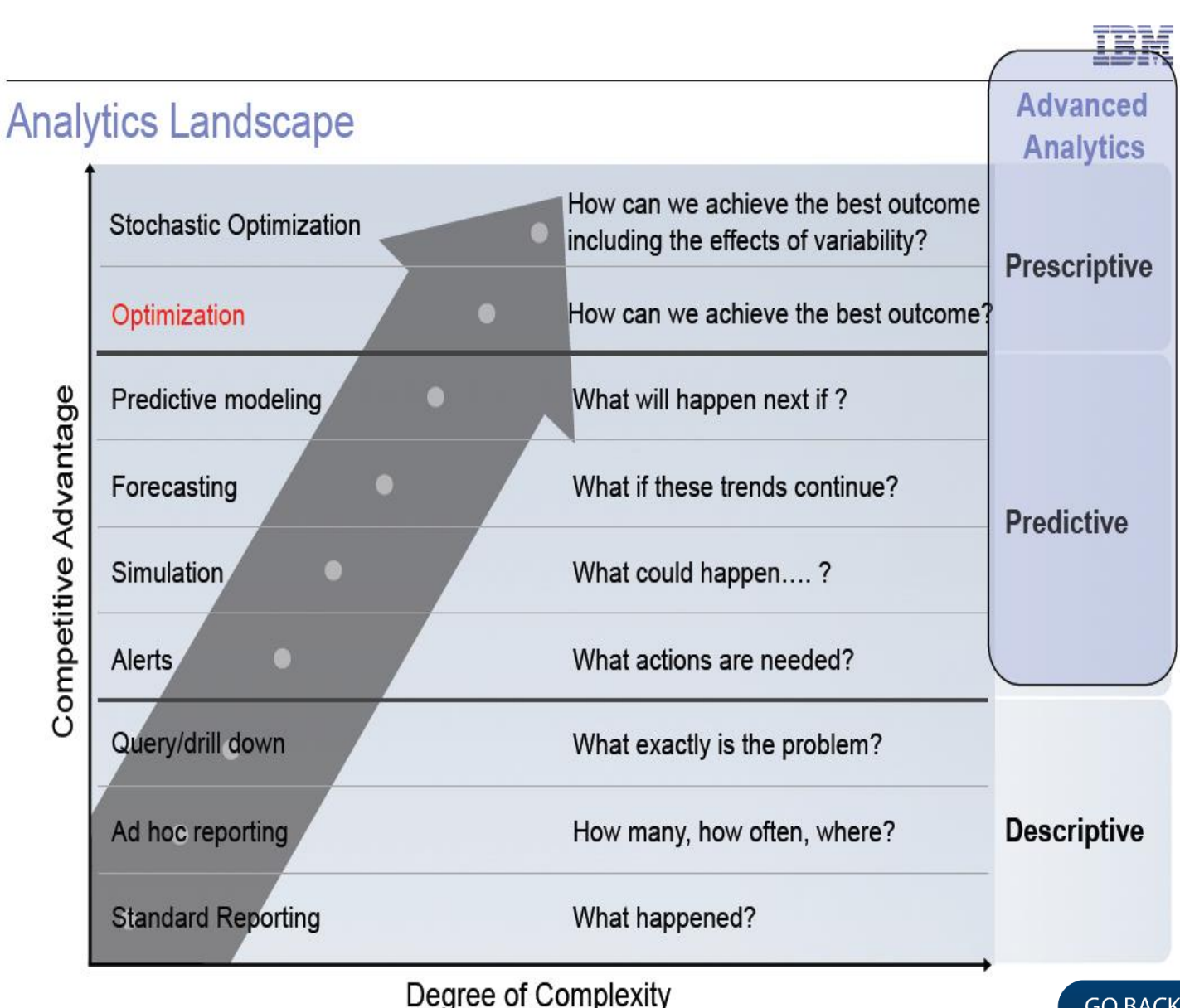




COMPETING ON ANALYTICS









BUSINESS VALUE ADDED BY MATHEMATICAL METHODOLOGIES



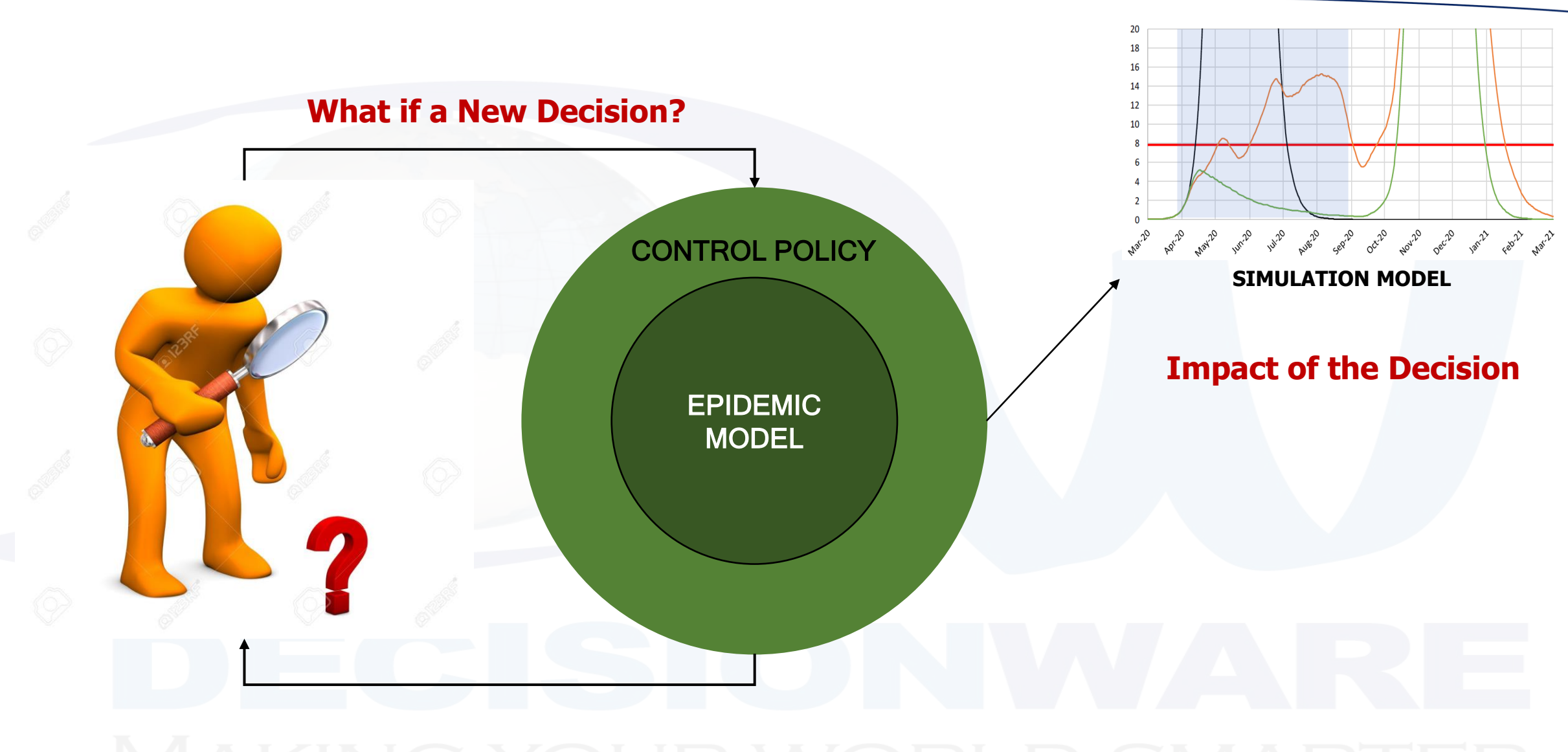
Advanced **Analytics Landscape Analytics** How can we achieve the best outcome Stochastic Optimization including the effects of variability? Prescriptive **HIGH COMPLEXITY** How can we achieve the best outcome? Optimization **MATH MODELING** Competitive Advantage Predictive modeling What will happen next if? What if these trends continue? Forecasting **MEDIUM COMPLEXITY Predictive MATH MODELING** Simulation What could happen....? Alerts What actions are needed? Query/drill down **ZERO COMPLEXITY** What exactly is the problem? **MATH MODELING** Ad hoc reporting How many, how often, where? Descriptive Standard Reporting What happened?

Degree of Complexity



OPTIMIZATION MODELS – HIGH MATHEMATICAL COMPLEXITY



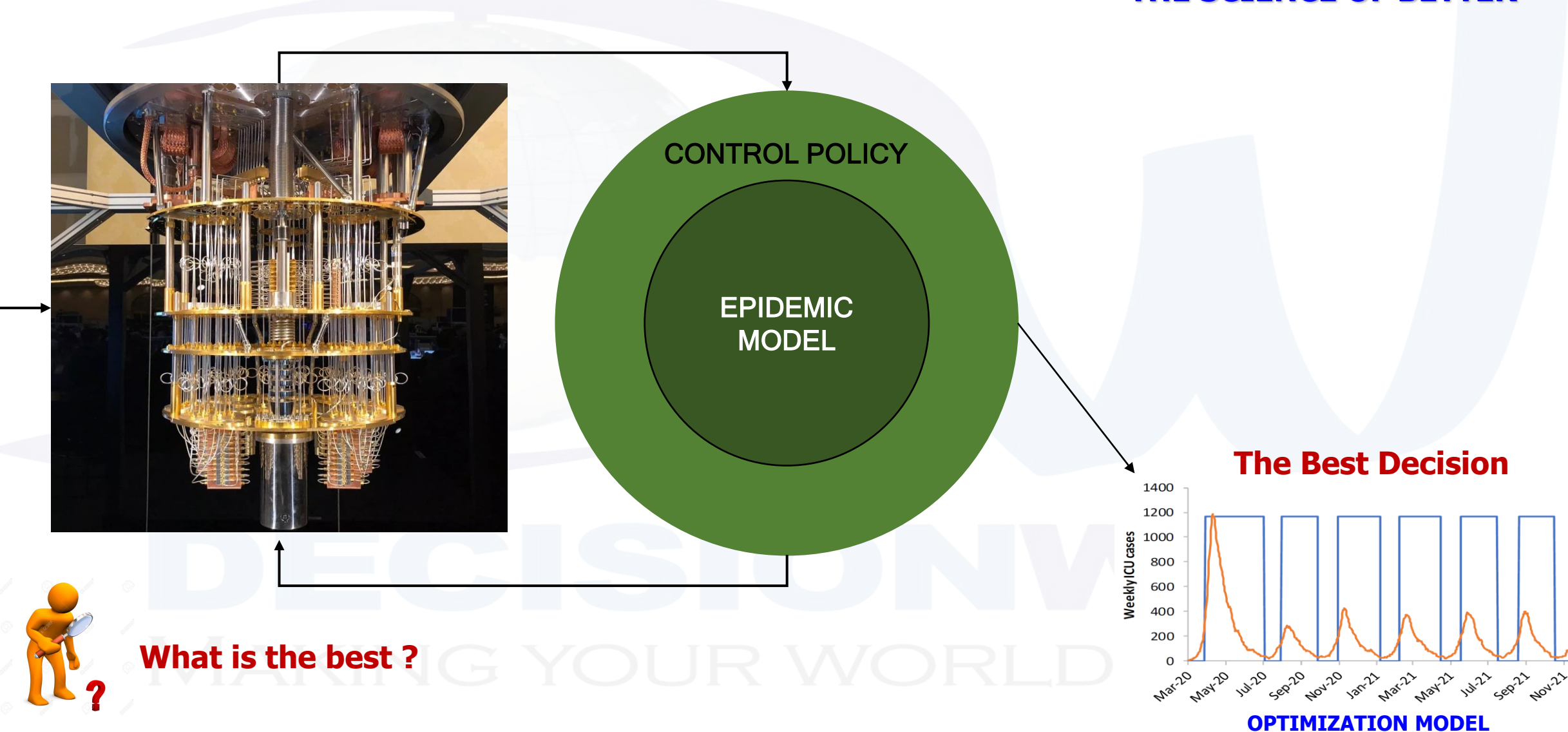




OPTIMIZATION MODELS – HIGH MATHEMATICAL COMPLEXITY



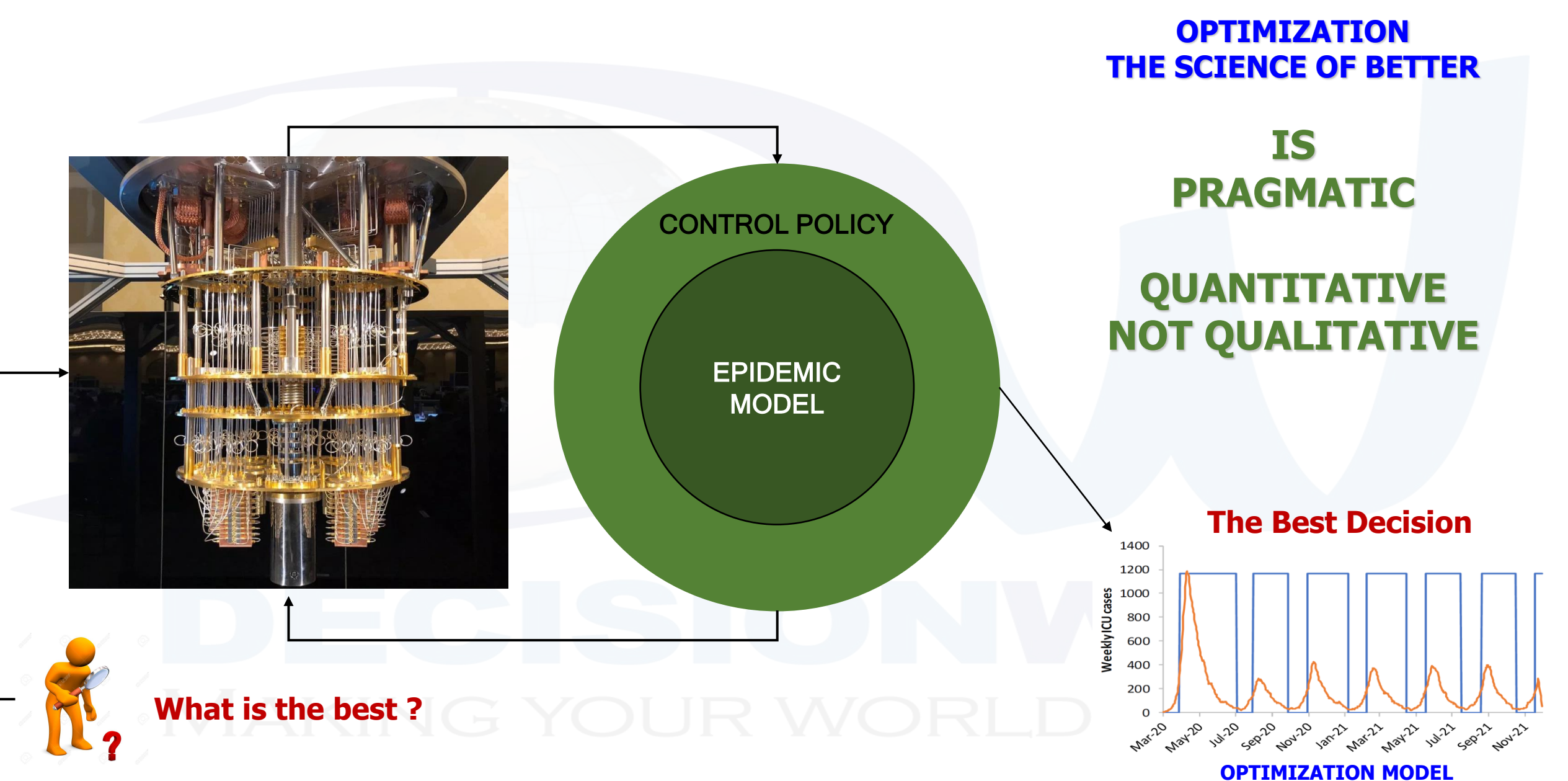
OPTIMIZATION THE SCIENCE OF BETTER





OPTIMIZATION MODELS – HIGH MATHEMATICAL COMPLEXITY







STABLE, UNSTABLE AND CHAOTIC DYNAMIC SYSTEMS



Chaotic and/or unstable behavior exists in many natural systems, including fluid flow, heartbeat irregularities, weather and climate. It also occurs spontaneously in some non-natural systems with artificial components, such as the economics, stock markets and road traffic. Chaos theory has applications in a variety of disciplines, including meteorology, anthropology, sociology, physics, environmental science, computer science, engineering, economics, biology, ecology, and philosophy.

Basically. dynamic systems can be classified into:

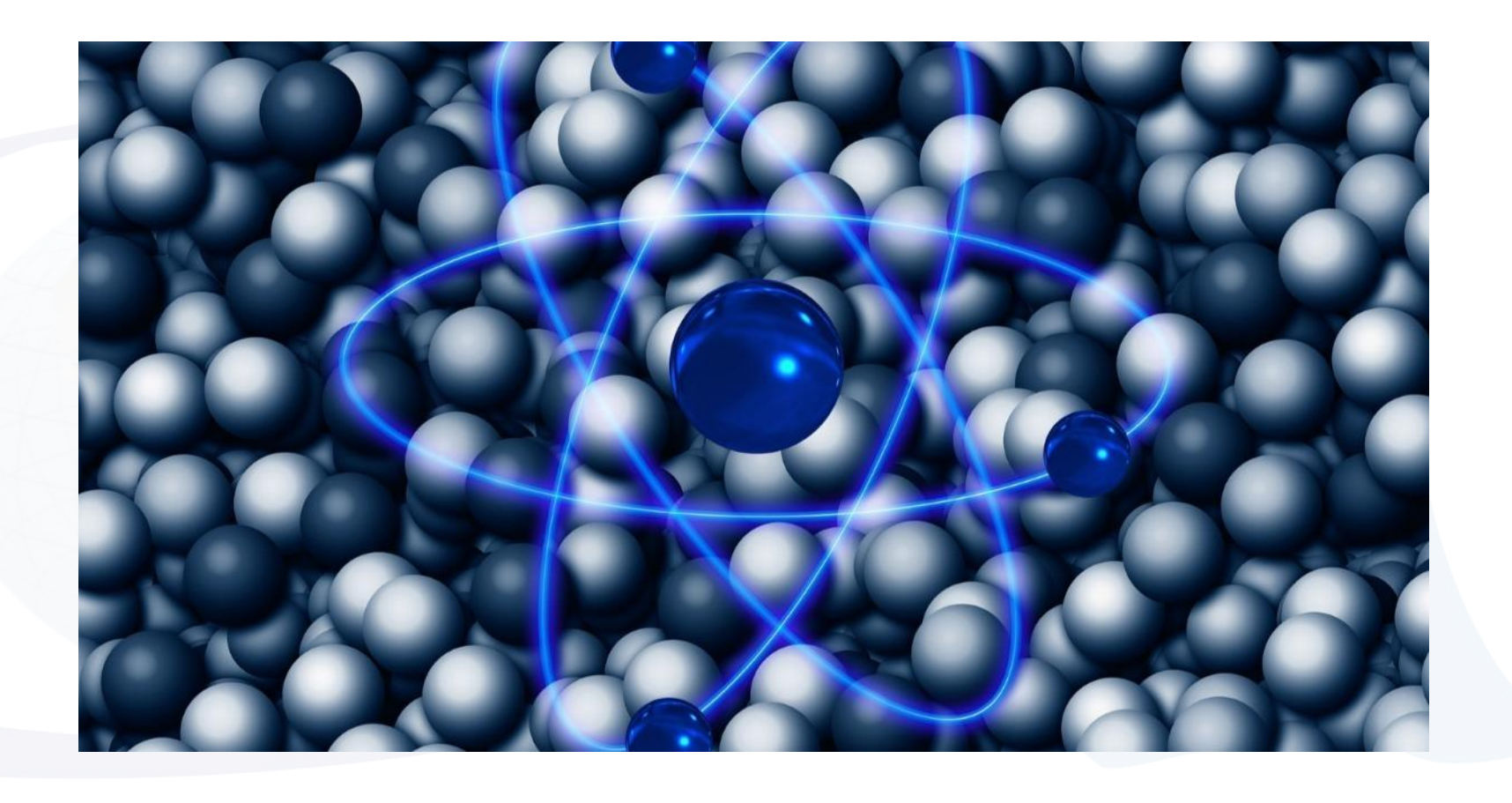
- **Stable,** when two solutions with sufficiently close initial conditions remain close over time. Thus, a stable system tends over time to a point of attraction, or orbit. In the case of economics, they can be studied with models of general computable equilibrium. **This is not the situation of the economics during/after the pandemic period.**
- **Unstable,** when two solutions with different initial conditions end up diverging as small as the initial conditions. Thus, an unstable system "escapes" the attractors and it can be very difficult to determine what will happen over time. **This may be the situation of the economics during/after the pandemic period.**
- Chaotic, when two dynamic solutions are kept at a "finite" distance close to a point of attraction, the solutions move irregularly and after time both solutions are not close. That way, the system remains oscillating in an area of its state space, but without tending to a fixed point of attraction. This may be the situation of the economics during/after the pandemic period.

One of the main features of both unstable and chaotic systems is that they have a high dependence on the initial conditions (this differentiates the two types of stable systems). From a stable system from which its characteristic temporal evolution equations are known, and with fixed initial conditions, it is possible to know exactly its evolution over time. But in the case of unstable and chaotic systems, a slight difference in these conditions causes the system to evolve completely differently. The theory formed the basis for such fields of study as complex dynamical systems, edge of chaos theory, and self-assembly processes.



STABLE, UNSTABLE AND CHAOTIC DYNAMIC SYSTEMS



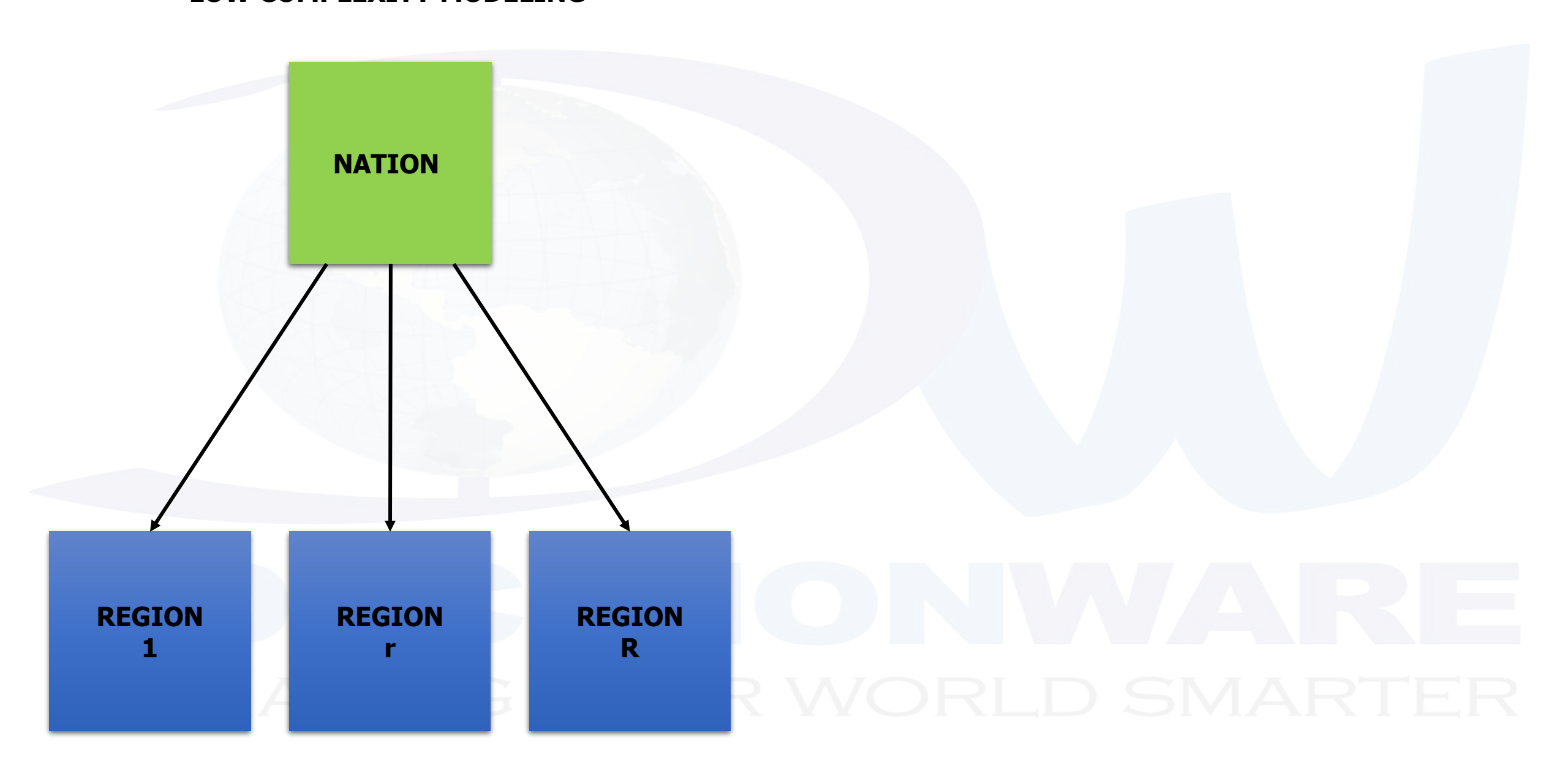


For real-systems this unstable/chaotic behavior can be studied through the built and the analysis of a mathematical model that explain the system behavior studying and integrating the known dynamic behavior of each of its components, that means a bottom-up model of the system.



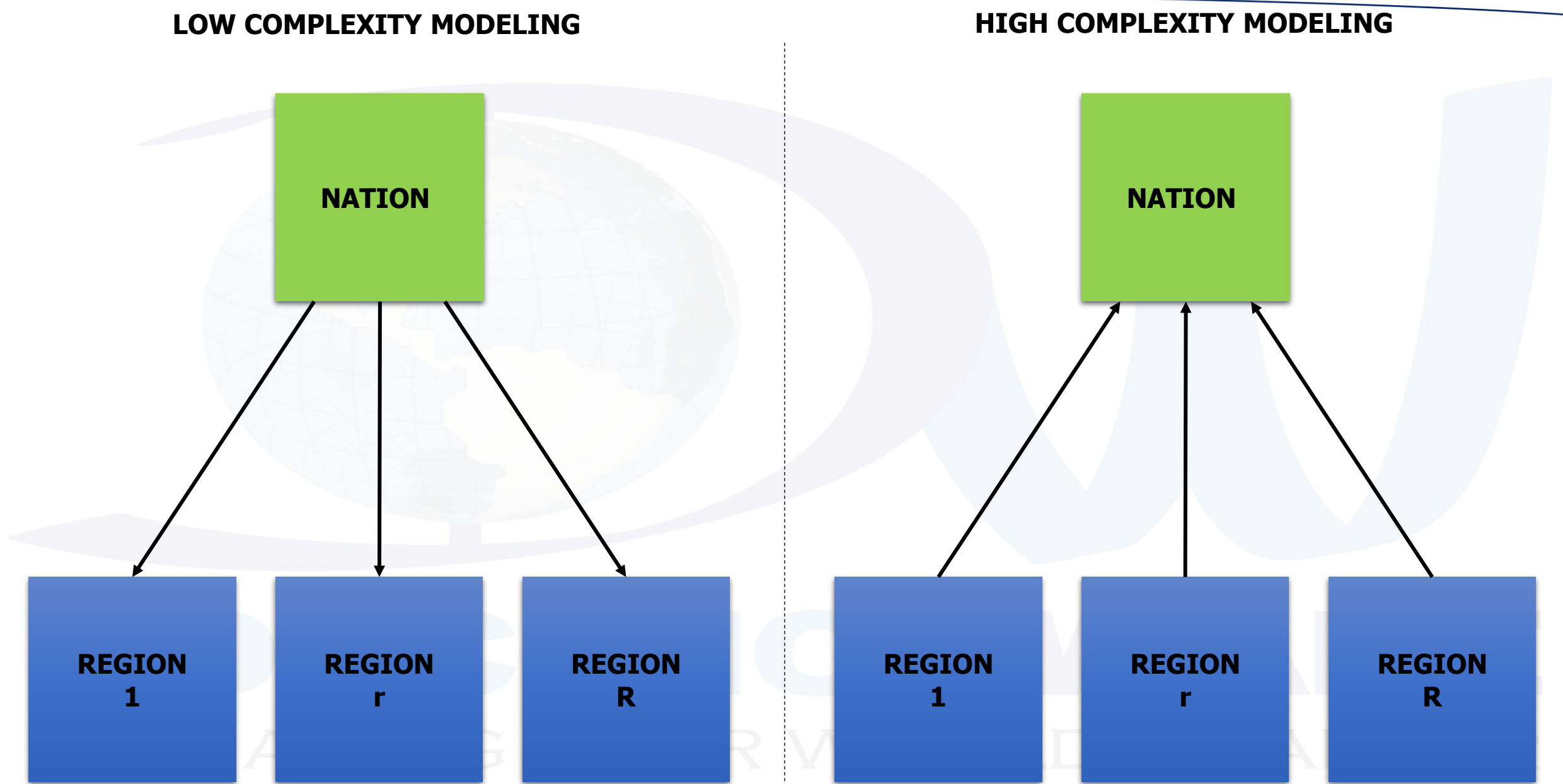


LOW COMPLEXITY MODELING









A TRADITIONAL ORGANIZATION BELIEVE IN MENTAL MODELS & GOOD PRACTICES



Organization and Professionals that only believe in mental models, based on the intuition and the "good practices", implemented in spreadsheets



A SMART ORGANIZATION BELIEVE IN ADVANCED ANALYTICS

Key finding 1

Analytics correlates to performance





Organizations that lead in analytics outperform those who are just beginning to adopt analytics



Top Performers are more likely to use an analytic approach over intuition*



Big data makes a big difference



DECISIONWARE MAKING YOUR WORLD SMARTER

Big data makes a big difference

Organizations using big data and analytics are up to



more likely to report they are

substantially outperforming

their competitors

than those who do not use big data and analytics



Las inquietudes organizacionales de las empresas que detienen la implementación de ANALYTICS

Obstáculos para extender el uso del análisis:

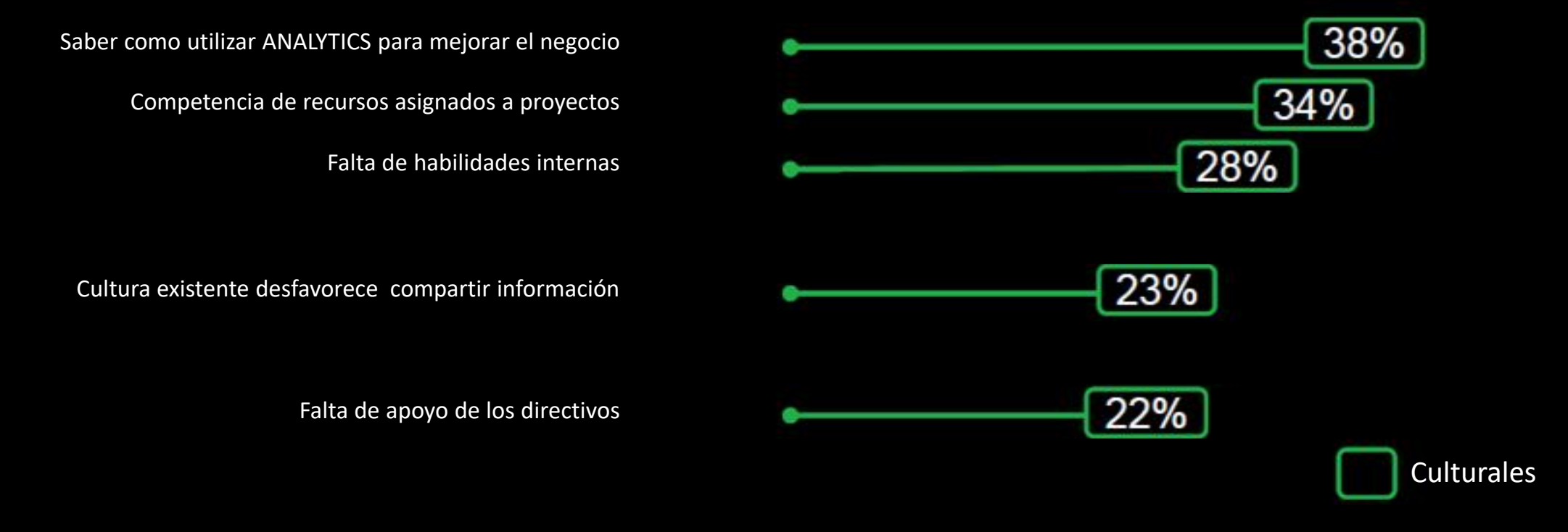
38% Saber como utilizar ANALYTICS para mejorar el negocio 34% Competencia de recursos asignados a proyectos 28% Falta de habilidades internas 24% Habilidad de conseguir la información 23% Cultura existente desfavorece compartir información 23% Las políticas de propiedad de los datos no es clara 22% Falta de apoyo de los directivos 21% Culturales Preocupaciones con los datos 21% Datos Costos percibidos son mayores a los beneficios 15% **Financieros** No hay posibilidades de cambio

Fuente: Traducción de Analytics: The New Path to Value



Las inquietudes organizacionales de las empresas que detienen la implementación de ANALYTICS

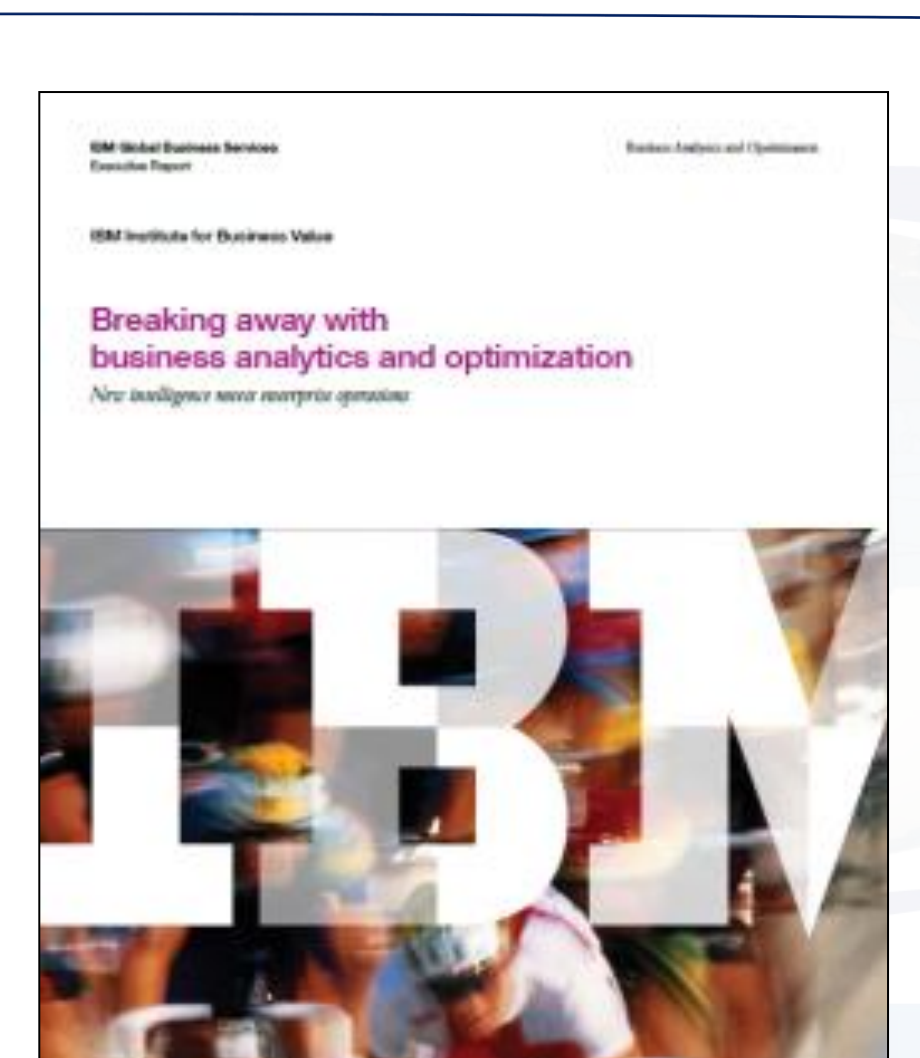
Obstáculos para extender el uso del análisis:











"In top-performing organizations, ANALYTICS has replaced intuition as the best way to answer questions about what markets to pursue, how to configure and price offerings, and how to identify where operations can be made more efficient in response to cost and environmental constraints.

Yet, as much as business leaders are eager to capture the benefits of new intelligence, they need to take ANALYTICS the full distance.

Top performers are enacting their business analytics and optimization (BAO) vision, making it possible to operationalize decisions and optimize business performance across the enterprise.

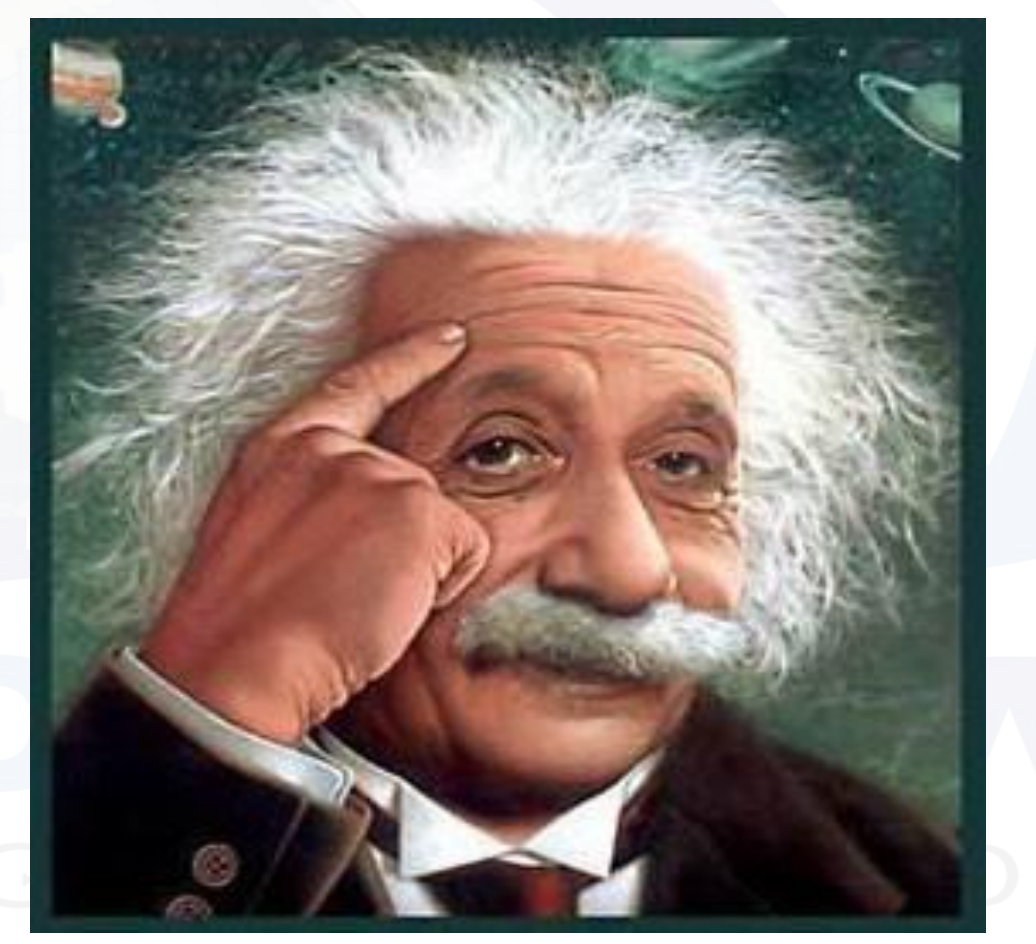
To do this, they are using the most effective toolsets, governance and change management practices."

By Steve LaValle IBM Institute for Business Value





OPEN MIND, ANTICIPATION & PRECISION



D)E(

SMARTER





MODELAMIENTO DEL TERRITORIO RURAL

FASOM: FOREST AND AGRICULTURAL SECTOR OPTIMIZATION MODEL



United States
Department of
Agriculture
Forest Service
Padfic Northwest
Research Station
Research Paper
PNW-RP-495

The Forest and Agricultural Sector Optimization Model (FASOM): Model Structure and Policy Applications

Darius M. Adams, Ralph J. Alig, J.M. Callaway, Bruce A. McCarl, and Steven M. Winnett









United States
Department or
Agriculture
Forest Service
Passinch Northwest
Passianch Station
Research Station
Research Station
Research Station
Research Toper
PNW-18P-406
Suptember 1566

The Forest and Agricultural Sector Optimization Model (FASOM): Model Structure and Policy Applications Darlus M. Adams, Rajph J. Alig. J.M. Callaway, Bruce A. McCarl,

Darius M. Adams, Ralph J. Alig, J.M. Callaway, Bruce A. McCarl and Steven M. Winnett





FASOM es un modelo económico/matemático dinámico no-lineal de los sectores agrícola y silvícola de los USA

- Describe la asignación de tierra, a través del tiempo, como consecuencia de la competencia de los sectores forestal, agrícola y bio-energético. Fue desarrollado para la Agencia Americana de Protección del Ambiente (EPA) para evaluar el "bienestar social" y los impactos en el mercado de políticas alternativas para manejar la captura de carbono en los árboles.
- Una versión extendida del modelo se utiliza para simular los efectos de cambios climáticos inducidos por políticas gubernamentales, la conducta del mercado y el comportamiento de los agentes económicos en ambos sectores.



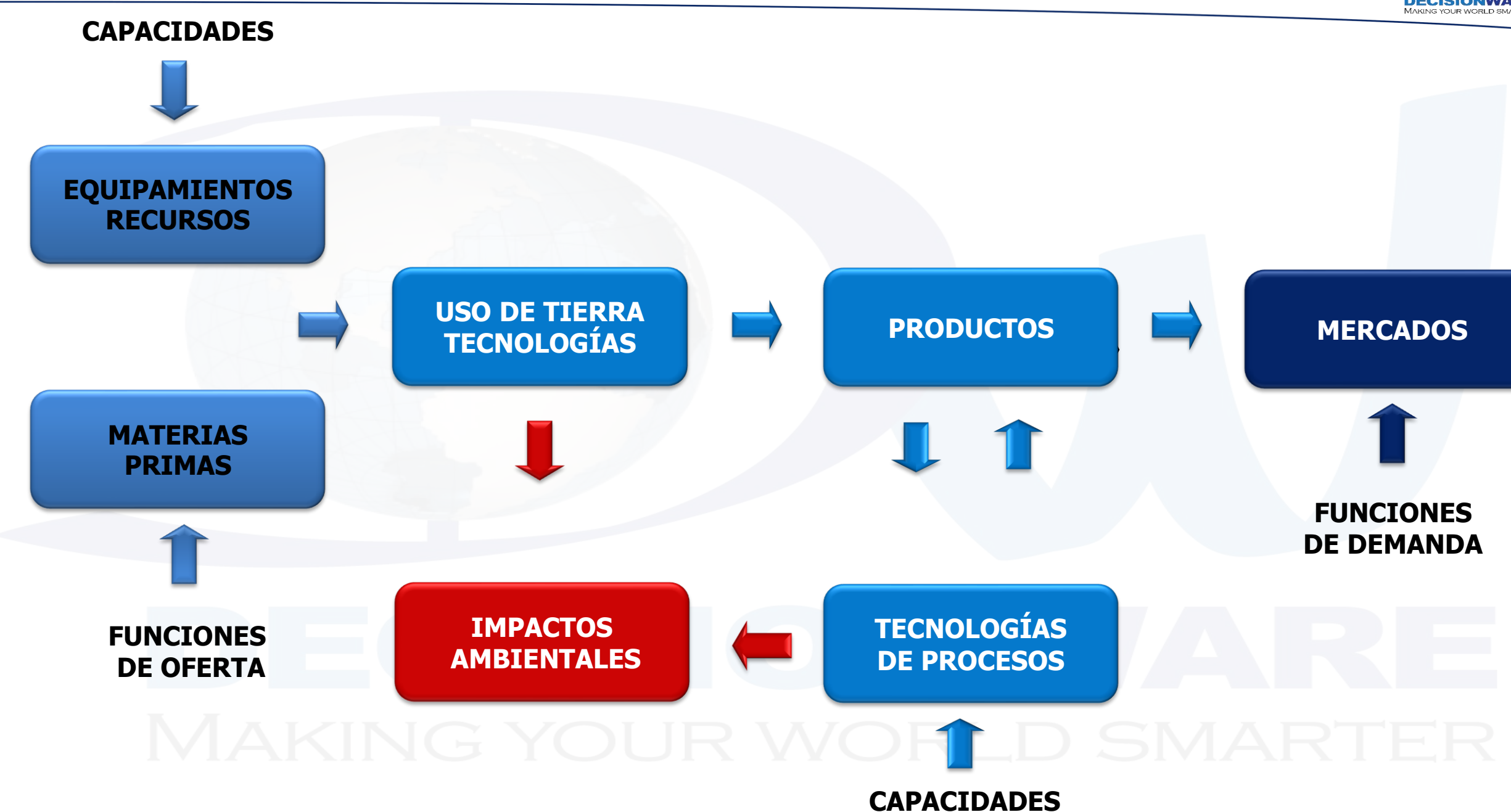
Técnicamente, **FASOM** es un modelo técnico-económico resultado de la integración de varios modelos, que consideran los siguientes conceptos metodológicos:

- Equilibrio económico parcial
- Bottom up
- Insumo producto
- Maximización del bienestar
- Optimizacion dinámica
- Planificación integral
- Programación matemática

DECISIONWARE MAKING YOUR WORLD SMARTER

FASOM: ESTRUCTURA







Forest and Agricultural Sector Model (FASOM / ASM)

- 11 Regions, 63 Sub-regions
- 70-100 year time period





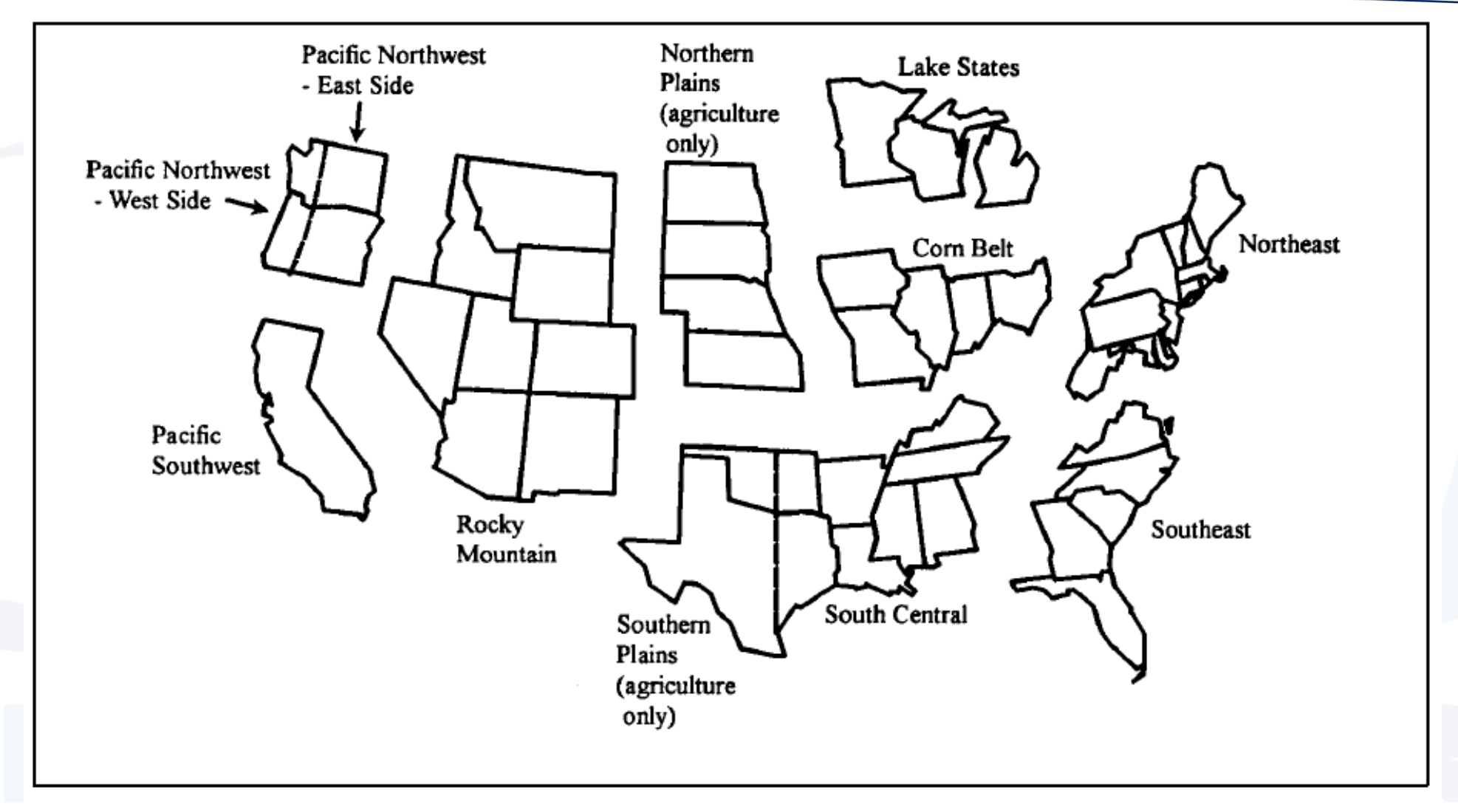


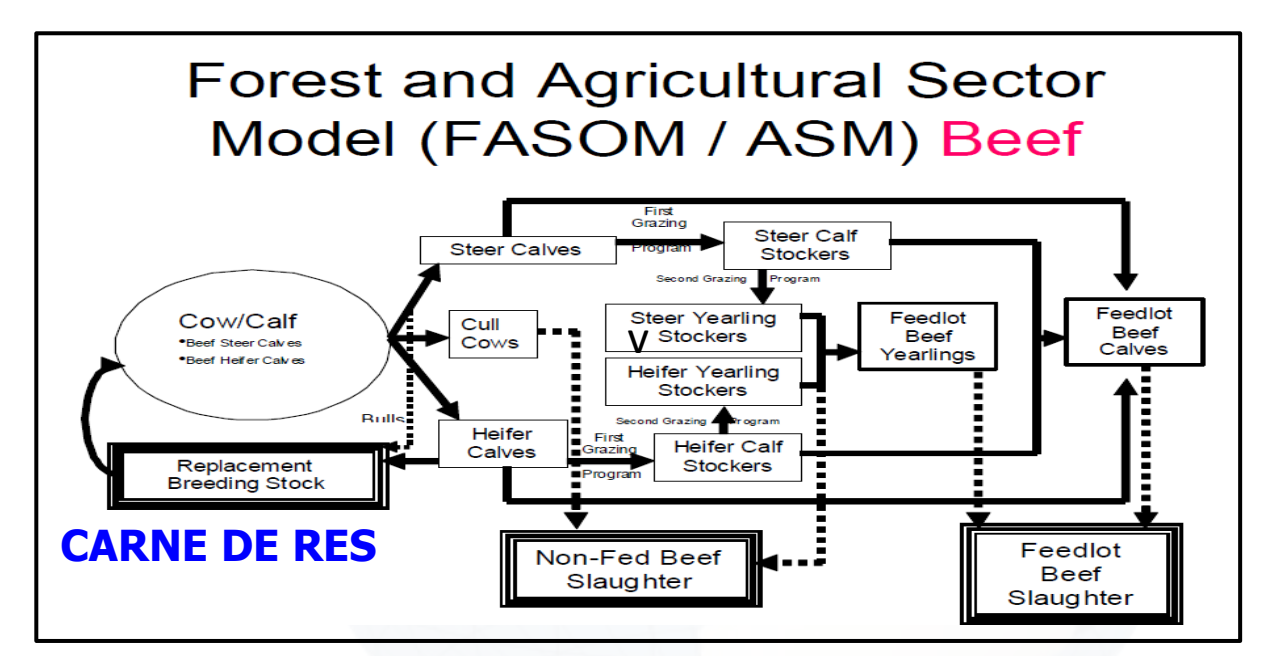
Figure 1—Supply regions used in FASOM.

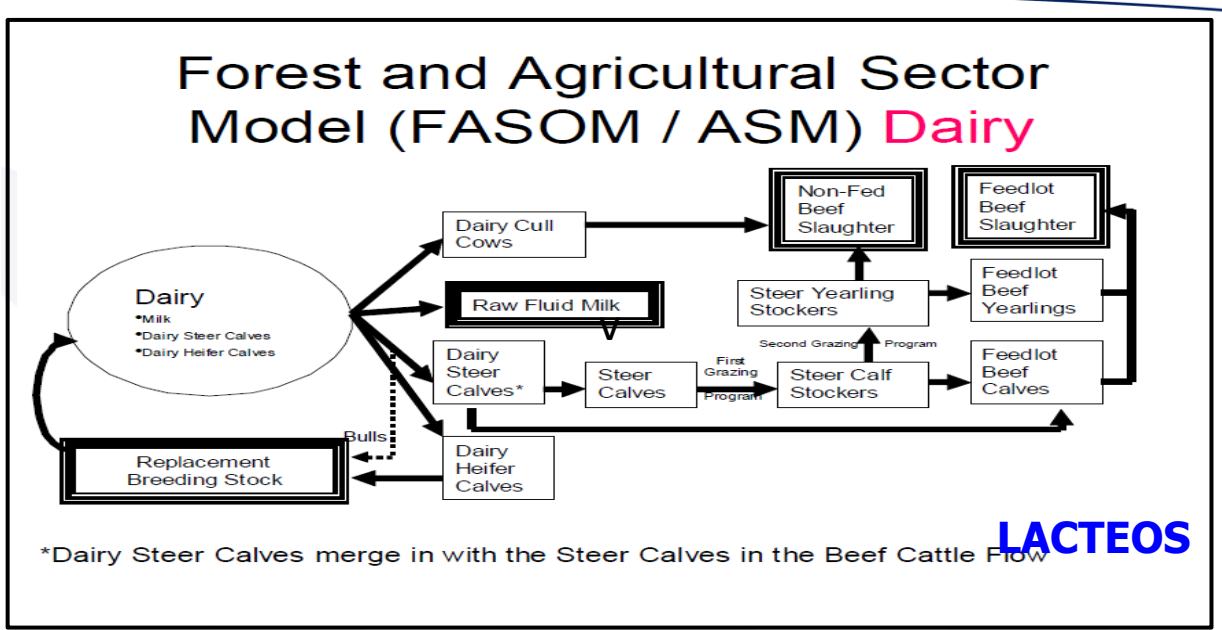


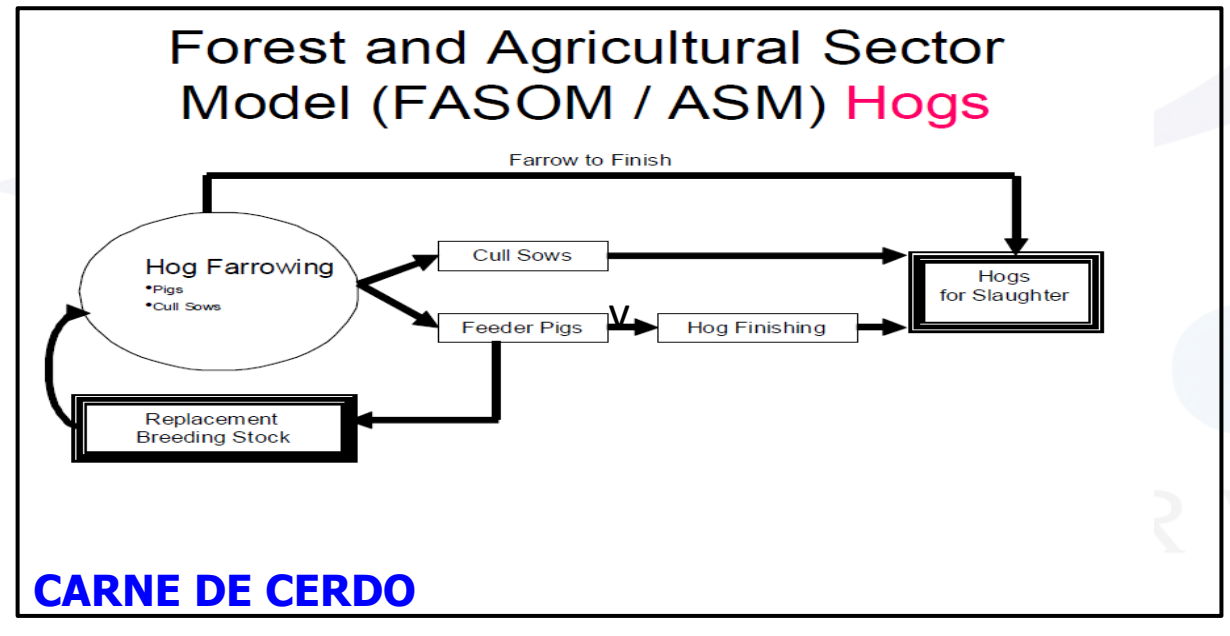
Region	Land class	Owner	Species	Site class	Management intensity class	Age class (cohort)
Northeast	Forest only	Forest industry	Softwood to softwood	High	High	0 to 9
Lake States	Cropland to forest	Other private	Hardwood to	Medium	Medium	10 to 19
Corn Belt	Pastureland to		hardwood	Low	Low	20 to 29
Southeast	forest		Hardwood to softwood		Low-low	30 to 39
South Central	Forest to cropland		Softwood to			40 to 49
Rocky Mountain	Forest to		hardwood			50 to 59
Pacific Southwest	pastureland					60 to 69
Pacific Northwest - West side						70 to 79
						80 to 89
Pacific Northwest - East side						90 +

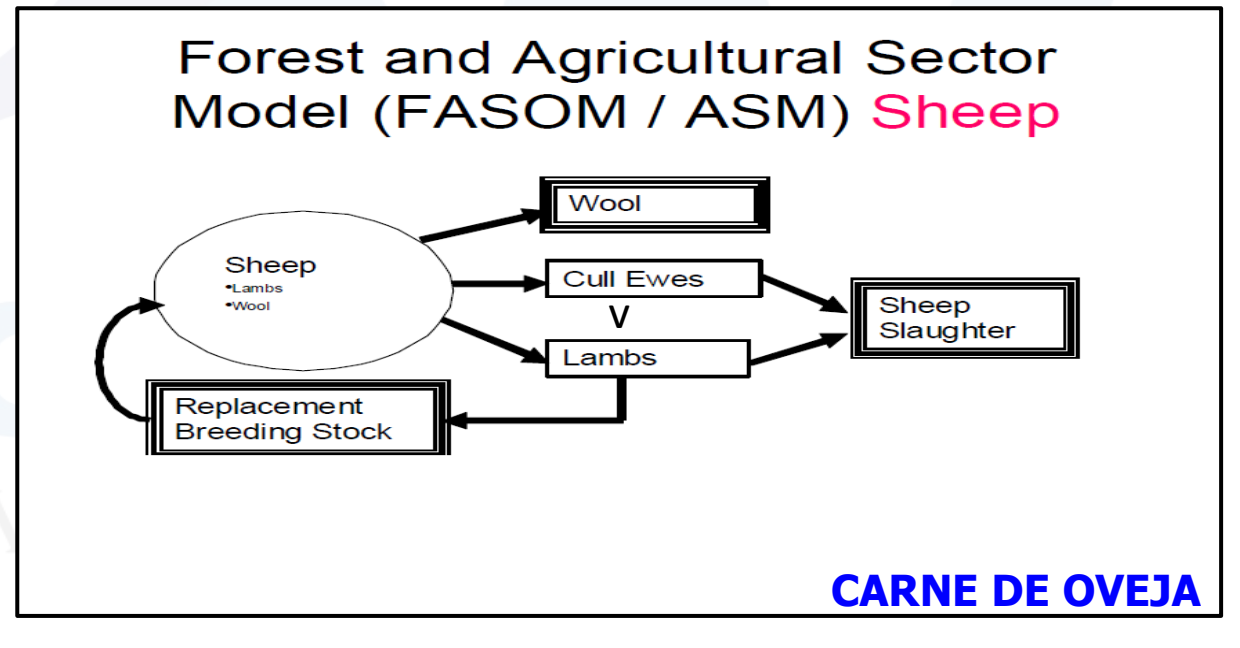
Figure 3—Strata used in FASOM: region, land class, owner, species, site, management intensity class, and age cohort.











POULTRY SUPPLY CHAIN



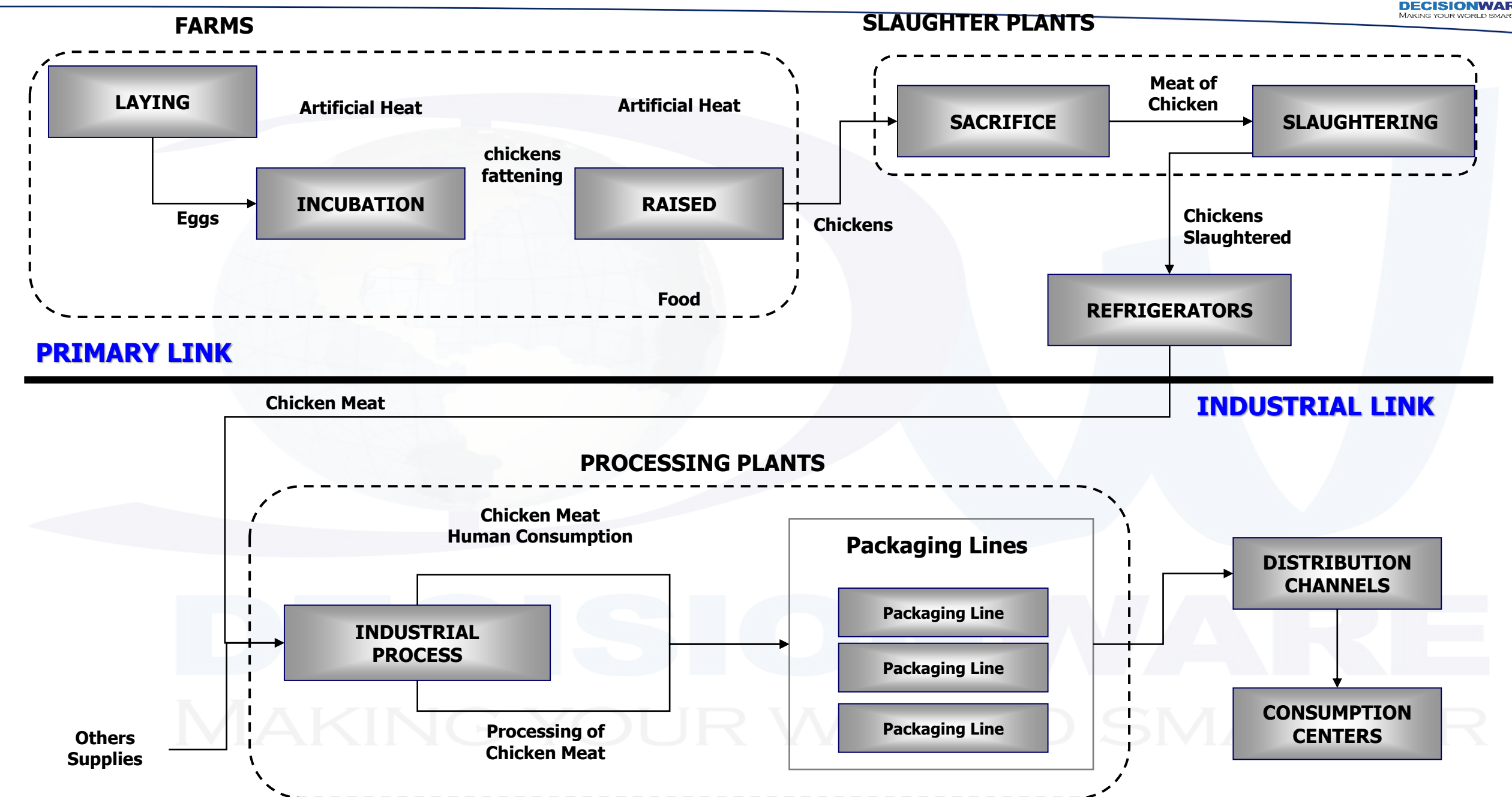




Table 1—Primary commodities modeled in FASOM

No.	Crop commodity	Units ^a	No.	Livestock commodity	Units ^a
1	Cotton	Bales	14	Milk	Cwt
2	Corn	Bushel	15	Cull dairy cows	Head
3	Soybeans	Bushel	16	Cull dairy calves	Head
4	Wheat	Bushel	17	Cull beef cows	Cwt, LW
5	Sorghum	Bushel	18	Calves	Cwt, LW
6	Rice	Cwt	19	Yearlings	Cwt, LW
7	Barley	Bushel	20	Nonfed beef	Cwt, LW
8	Oats	Bushel	21	Fed beef	Cwt, LW
9	Silage	Ton	22	Veal calves	Cwt, LW
10	Hay	Ton	23	Cull sows	Cwt, LW
11	Sugar cane	1000 pounds	24	Hogs	Cwt, LW
12	Sugar beets	1000 pounds	25	Feeder pigs	Cwt, LW
13	Potatoes	Cwt	26	Poultry	GCAU
			27	Cull ewes	Cwt, LW
			28	Wool	Cwt
			29	Feeder lambs	Cwt, LW
			30	Slaughter lambs	Cwt, LW
			31	Unshorn lambs	Cwt, LW
			32	Wool subsidy	\$
			33	Other livestock	GCAU

^a Cwt = hundred weight; LW = live weight; GCAU = grain-consuming animal unit.



Table 2—Secondary commodities modeled in FASOM

No.	Crop commodities	Units ^a	No.	Livestock commodities	Units ^a
1	Soybean meal	Cwt	25	Fluid milk	Cwt
2	Soybean oil	1000 pounds	26	Skim milk	pounds
3	Raw sugar	1000 pounds	27	Nonfat dry milk	pounds
4	Refined sugar	1000 pounds	28	Cream	pounds
5	Corn starch	1000 pounds	29	Butter	pounds
6	Corn gluten feed	1000 pounds	30	Ice cream	pounds
7	Corn oil	1000 pounds	31	American cheese	pounds
8	Ethanol	1000 pounds	32	Other cheese	pounds
9	HFCS ^b	1000 pounds	33	Cottage cheese	pounds
10	Corn syrup	1000 pounds	34	Fed beef	Cwt,CW
11	Dextrose	1000 pounds	35	Nonfed beef	Cwt,CW
12	Confectioneries	1000 pounds	36	Veal	Cwt,CW
13	Beverages	1000 pounds	37	Pork	Cwt,CW
14	Baked goods	1000 pounds			
15	Canned goods	1000 pounds			
16	Dried potatoes	Cwt			
17	Chipped potatoes	Cwt			
18	Frozen potatoes	Cwt			
19	Feed grains	1000 pounds			
20	Dairy protein feed	1000 pounds			
21	High protein swine feed	1000 pounds			
22	Low protein swine feed	1000 pounds			
23	Low protein cattle feed	1000 pounds			
24	High protein cattle feed	1000 pounds			

 ^a Cwt = hundred weight, CW = carcass weight.
 ^b HFCS = high fructose corn syrup.



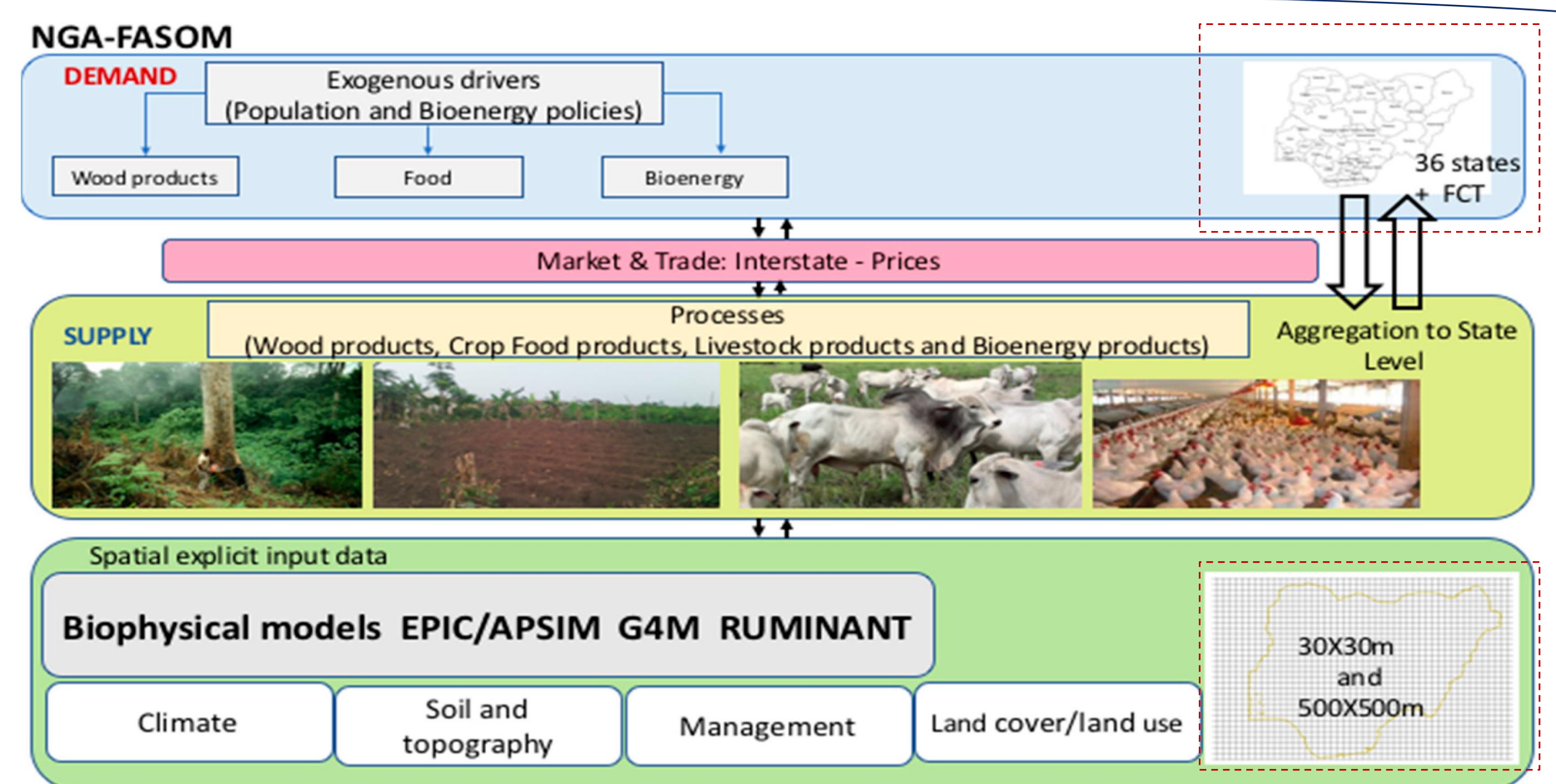
Table 3—National inputs modeled in FASOM

No.	Inputs	Units ^a
1.	Nitrogen	
2.	Potassium	
3.	Phosphorous	
4.	Lime	
5.	Other chemicals	
6.	Custom operation	
7.	Seed costs	
8.	Fuel and energy costs	
9.	Interest on operating capital	
10.	Irrigation energy cost	
11.	Repair costs	
12.	Vet and medical costs	
13.	Marketing and storage costs	
14.	Insurance (except crop)	
15.	Machinery	
16.	Management	
17.	Land taxes	
18.	General overhead costs	
19.	Noncash variable costs	
20.	Crop insurance	
21.	Land rent	
22.	Set-aside (conservation cost)	
23.	Processing labor	
24.	Other variable costs	

^a All units are U.S. dollars.

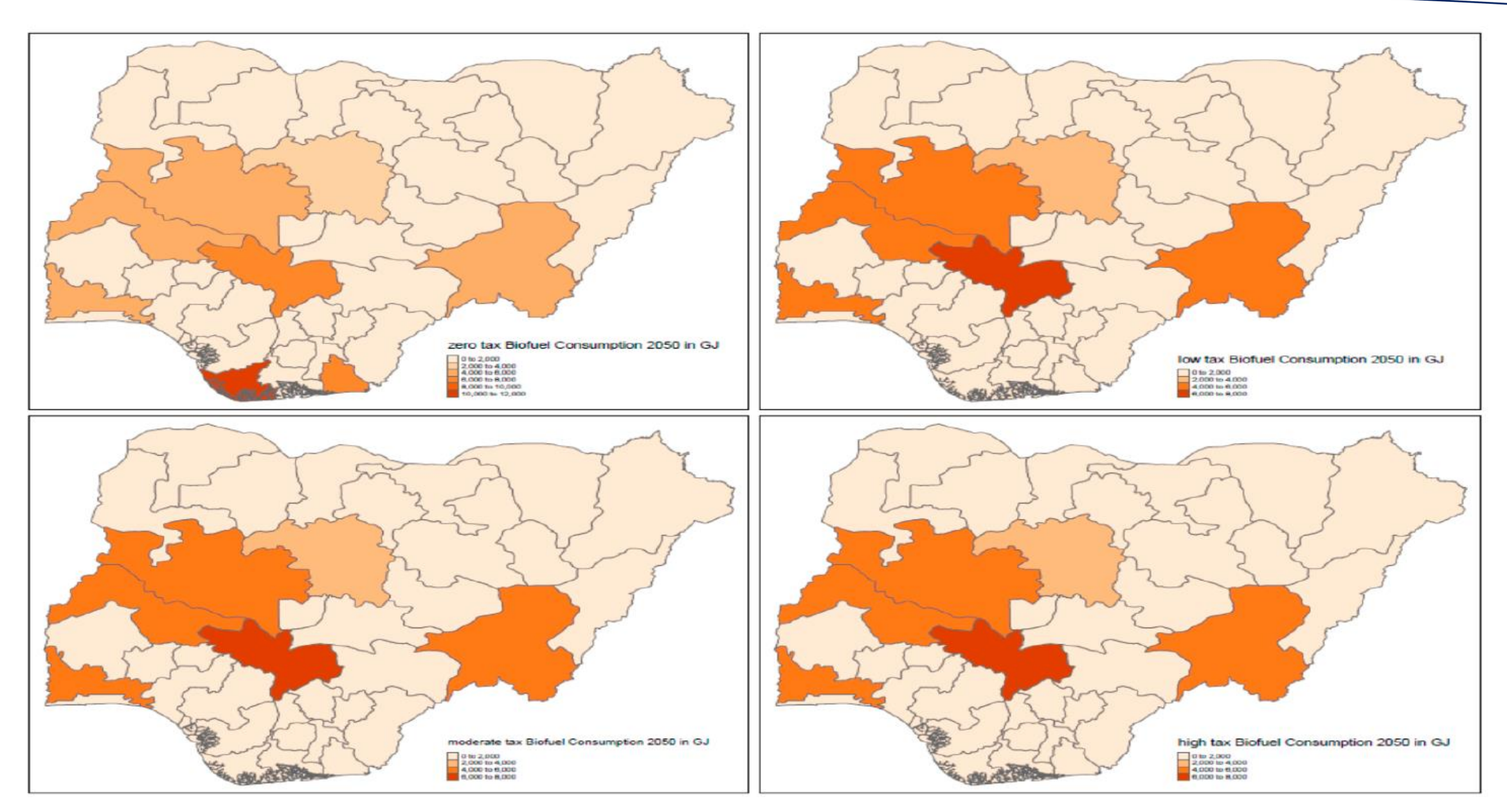
NIGERIA FASOM - NGA-FASOM





NGA-FASOM - BIOFUEL CONSUMPTION BY 2050 UNDER SUBSIDY ACTION





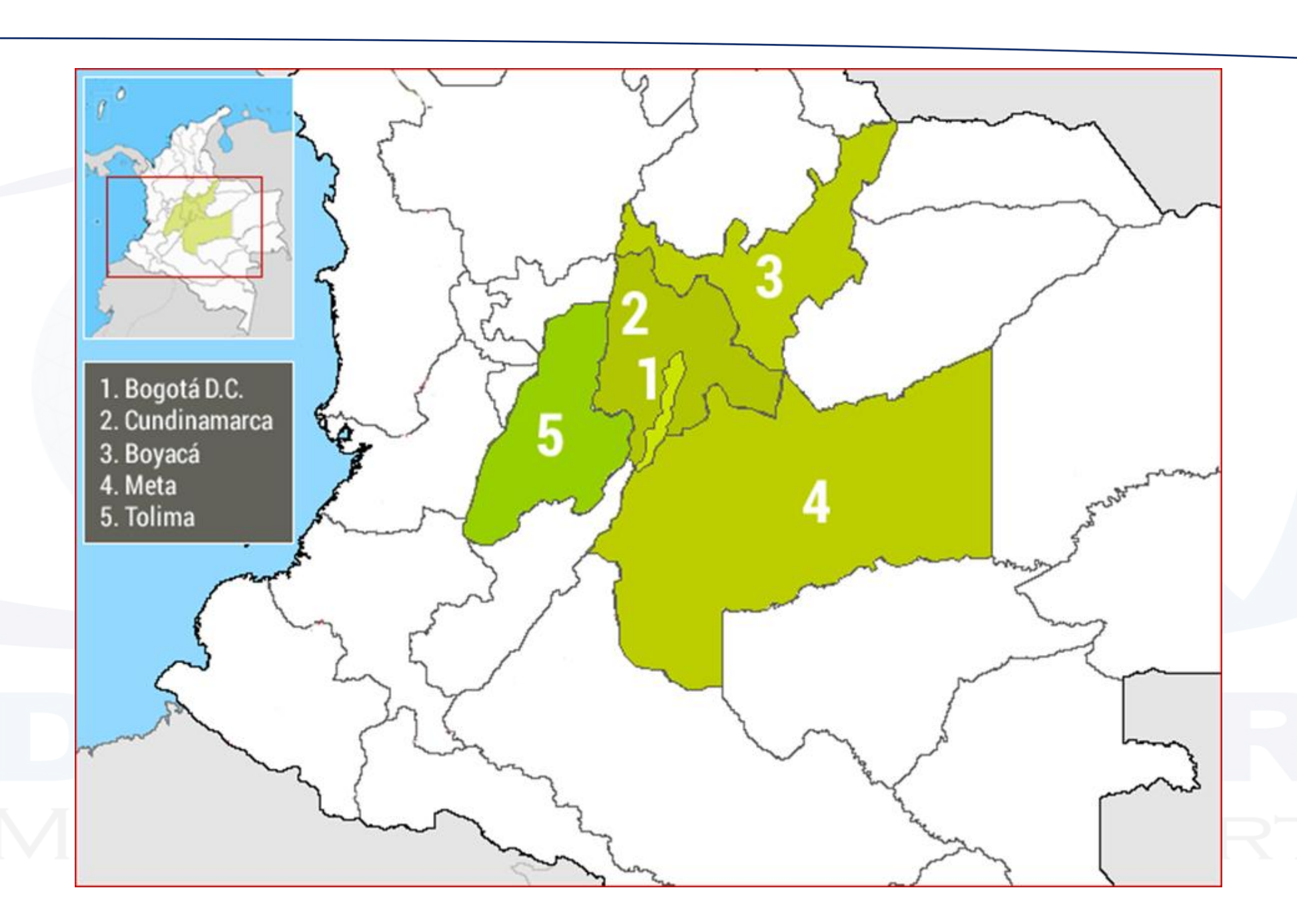


MODELAMIENTO DE PLANES MAESTROS ABASTECIMIENTO DE ALIMENTOS



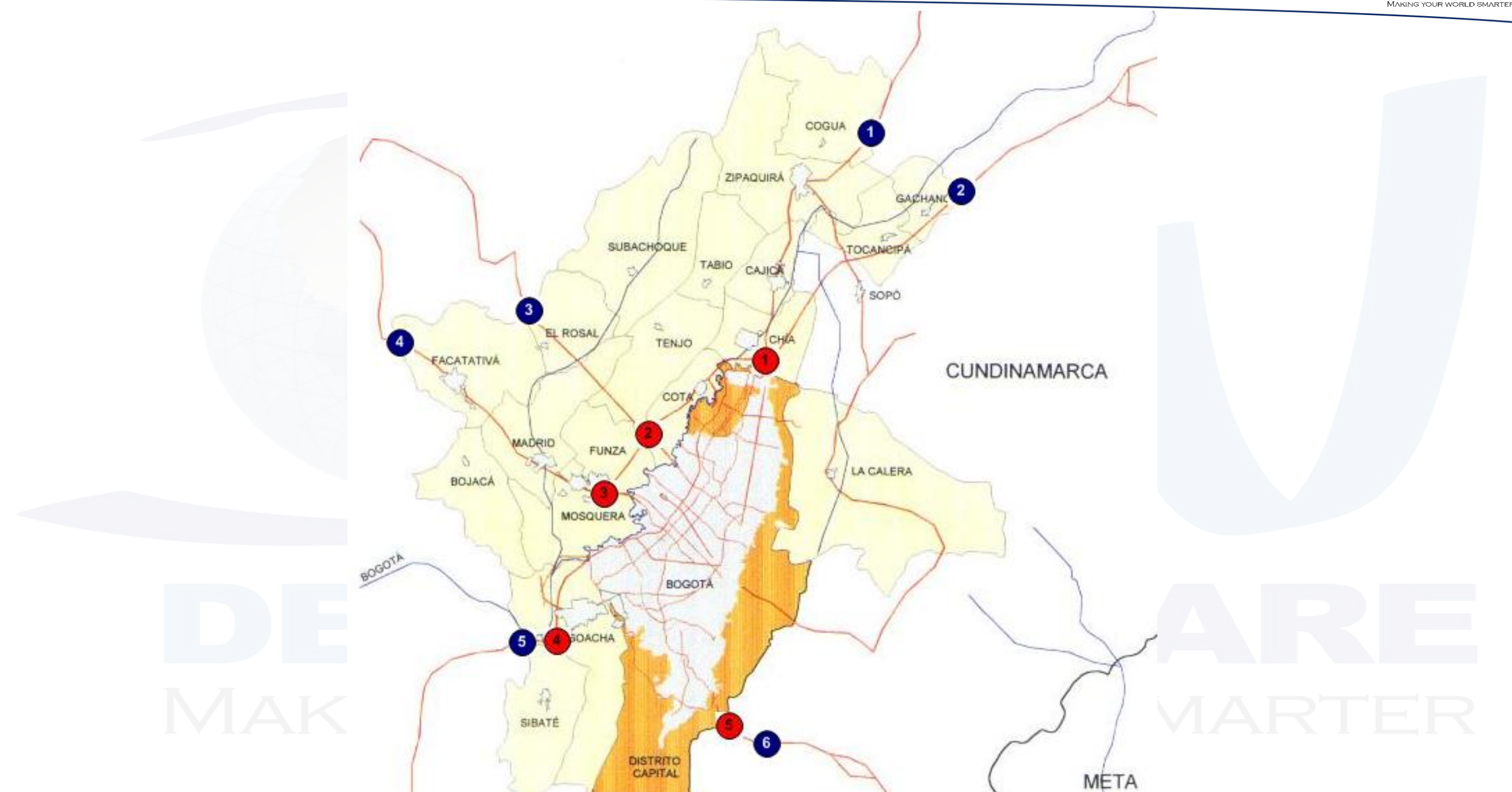
RAPE REGIÓN CENTRAL





BOGOTÁ D. C.





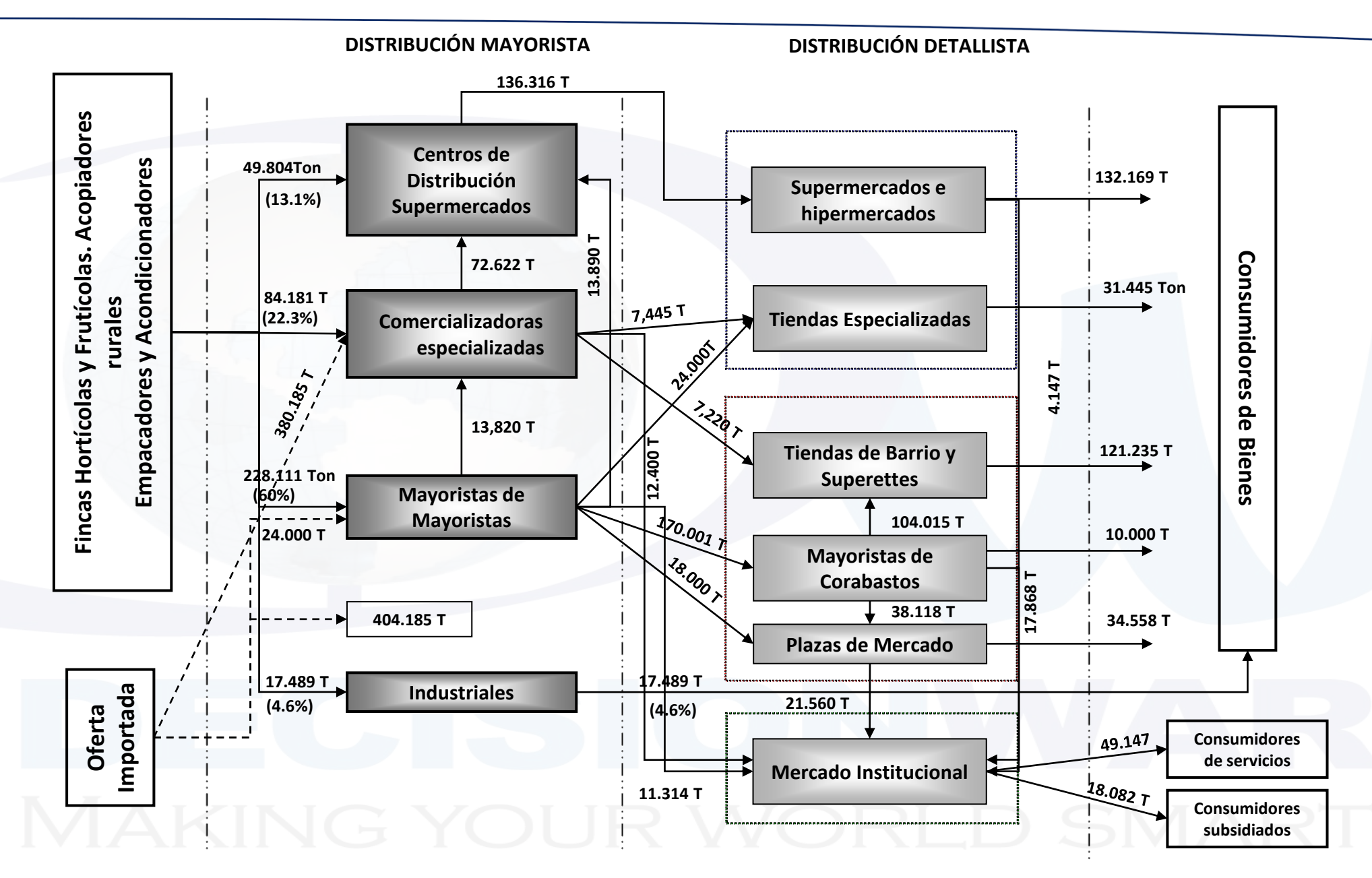
CADENA DE ABASTECIMIENTO DE LA CANASTA BÁSICA



	ALIMENTOS CLAVES EN EL PLAN ÍN CATEGORÍAS LOGÍSTICAS
Categorías Logísticas	Alimentos Canasta Básica.
Carne de Res	Carne de res y vísceras de res.
Fruver	Plátano, yuca, tomate, cebolla, zanahoria, espinaca y acelga, arveja verde, cítricos, papaya, banano y guayaba.
Рара	Papa
Leche y Derivados	Leche fresca, queso, cuajada, etc.
Abarrotes	Aceites y grasas, pastas, pan, azúcar, sal y chocolote.
Granos	Arroz, leguminosas importadas y fríjol seco.
Panela	Panela.
Huevos.	Huevos.
Carne de pollo Carne de pollo y menudencias de pol	
Total	33 alimentos

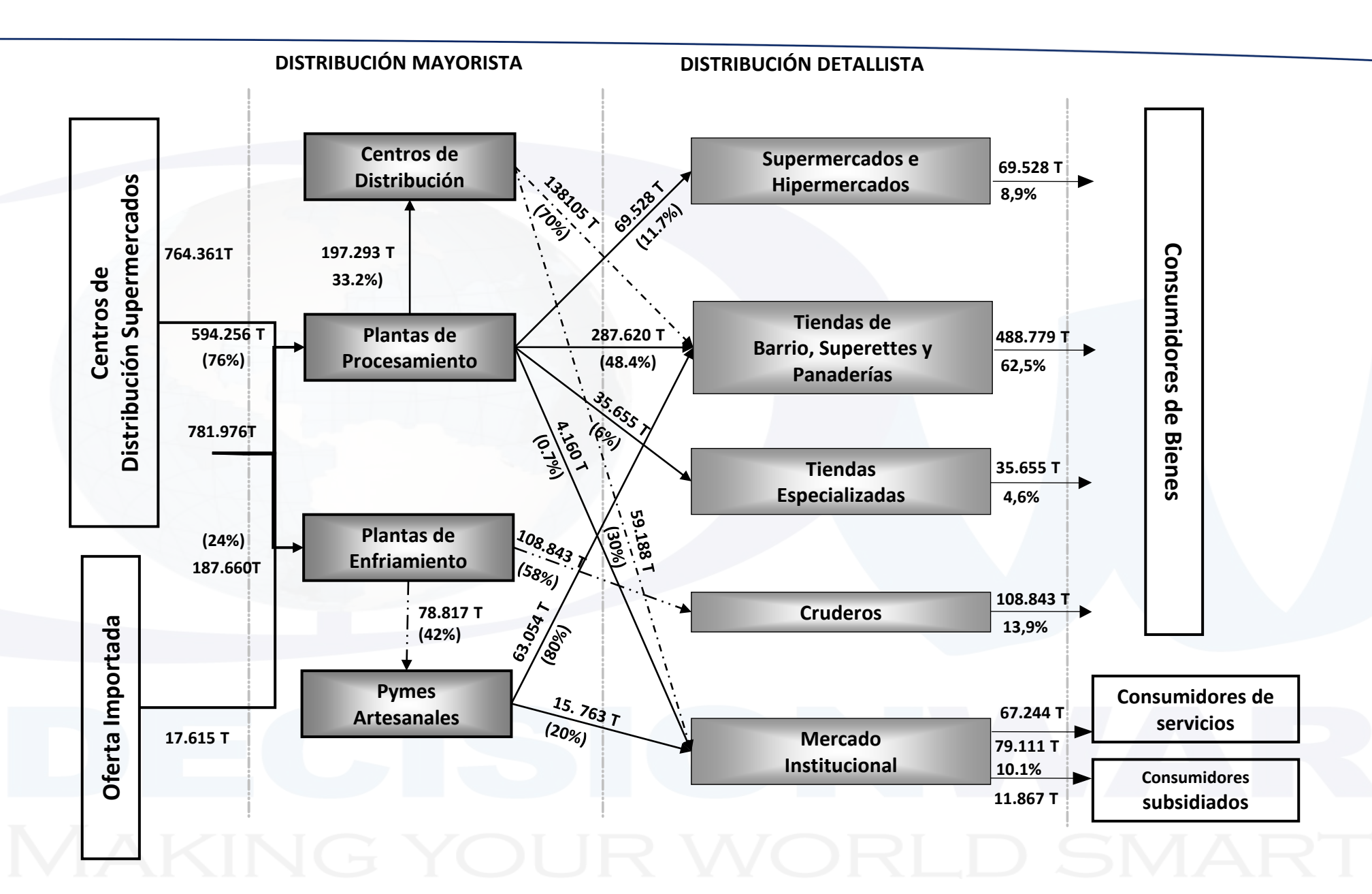
LA CADENA DE ABASTECIMIENTO FRUTAS Y VERDURAS - 2002





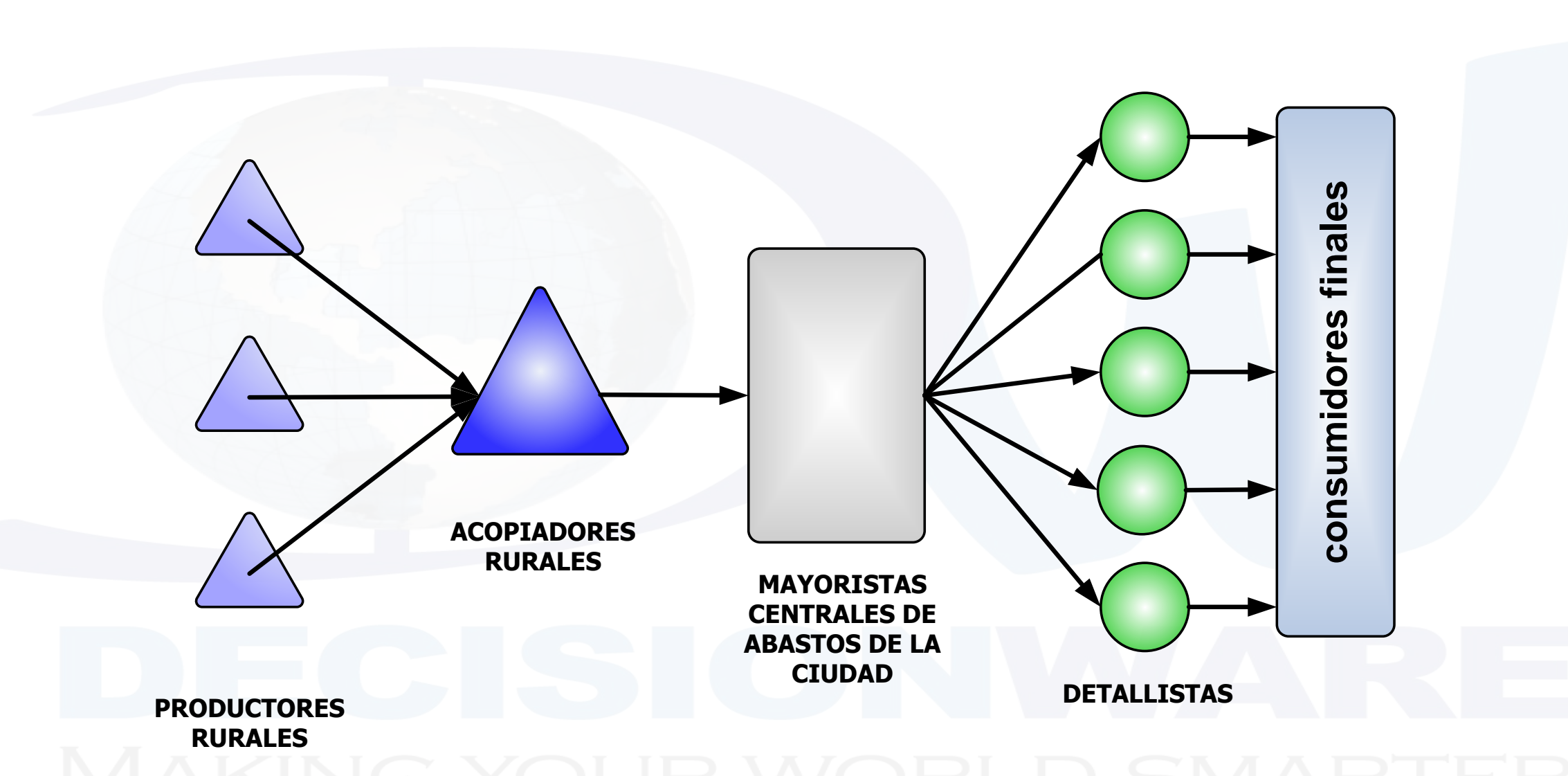
LA CADENA DE ABASTECIMIENTO DE LOS LÁCTEOS - 2002





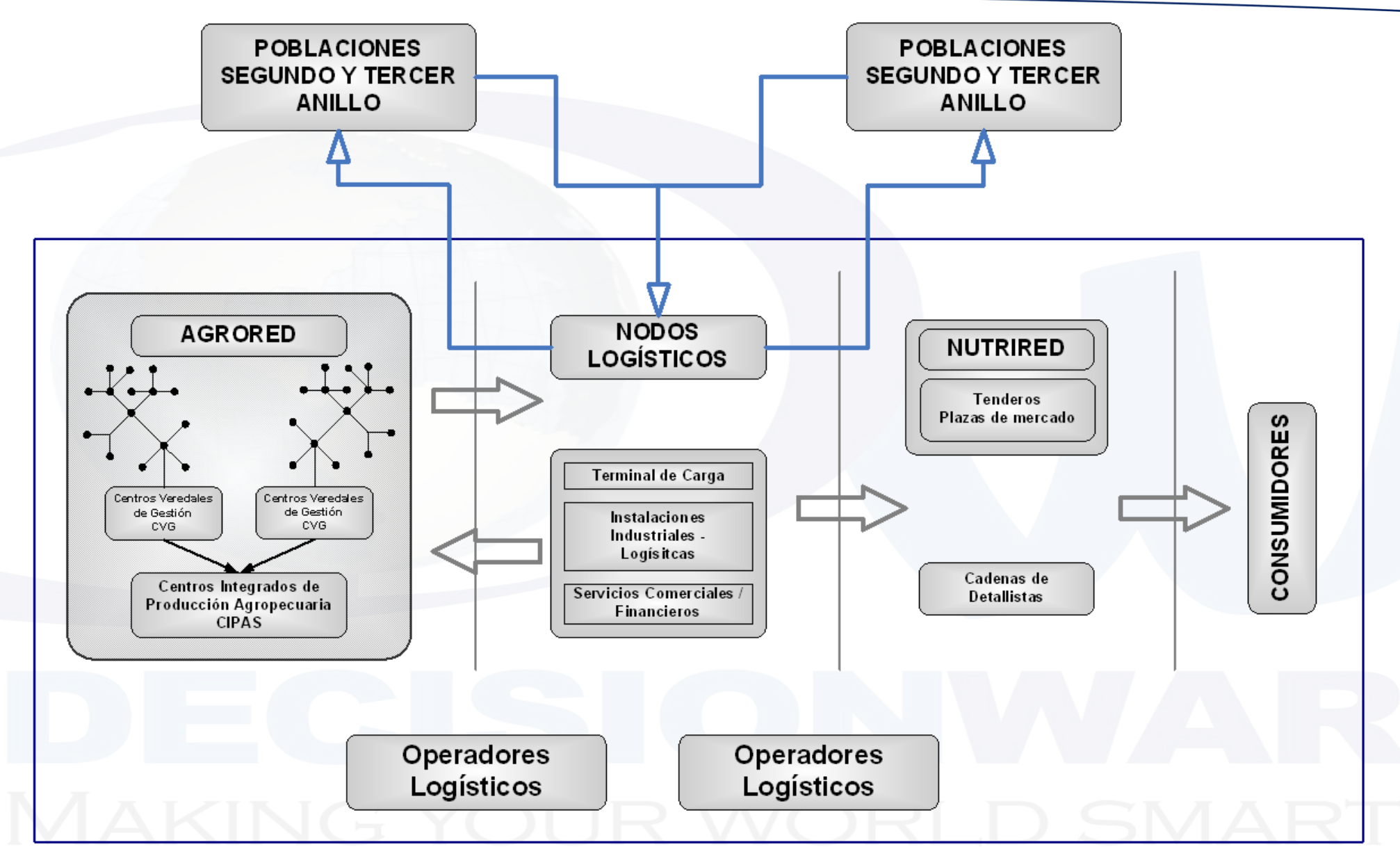
SISTEMA ABASTECIMIENTO TRADICIONAL





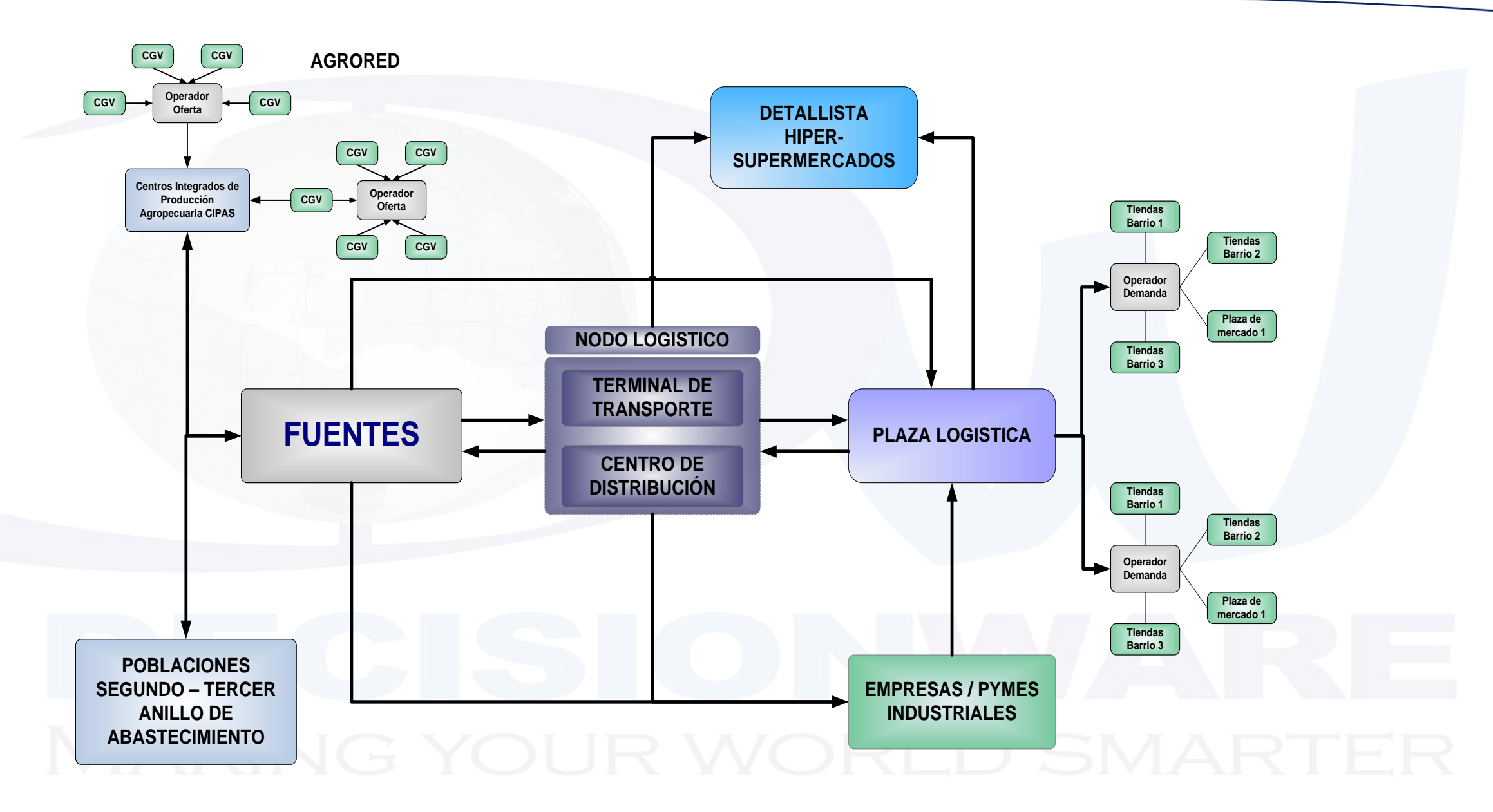
SISTEMA ABASTECIMIENTO MODERNO





SISTEMA ABASTECIMIENTO MODERNO







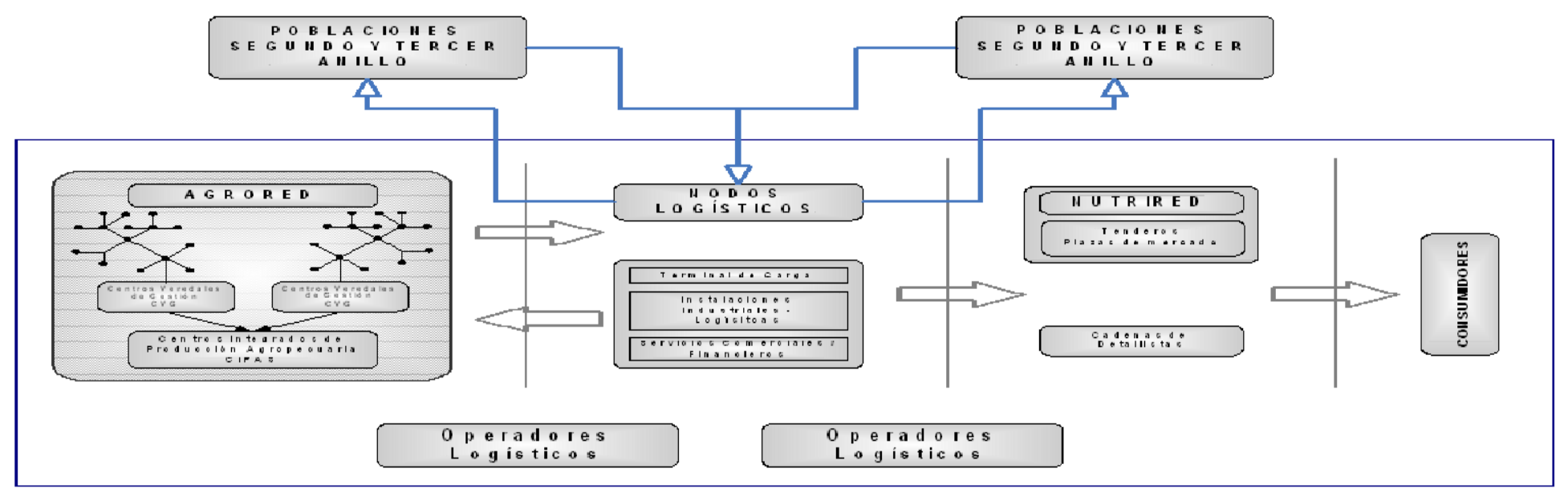
OPTEX Mathematical Modeling System - Chief Scientist DecisionWare International Corp. (OPTEX MMS 374838-456059)

OPCHAIN-RPO-FOOD

OPTIMIZING THE VALUE CHAIN

REGIONAL FOOD SUPPLY PLANNING





Powered by

Think the mathematical model and Mathematical will make the software for you

Aceptar

Usuario POT

POT

<u>C</u>lave

Cambiar Clave

Nueva Clave

Cancelar



MODELAMIENTO PLAN MAESTRO ABASTECIMIENTO DE ALIMENTOS

CASO ESTUDIO CIUDAD DE GUAYAQUIL

TESIS: Ing. CARLOS CEPEDA, M. Sc. ESPOL – Escuela Politécnica del Litoral. Guayaquil

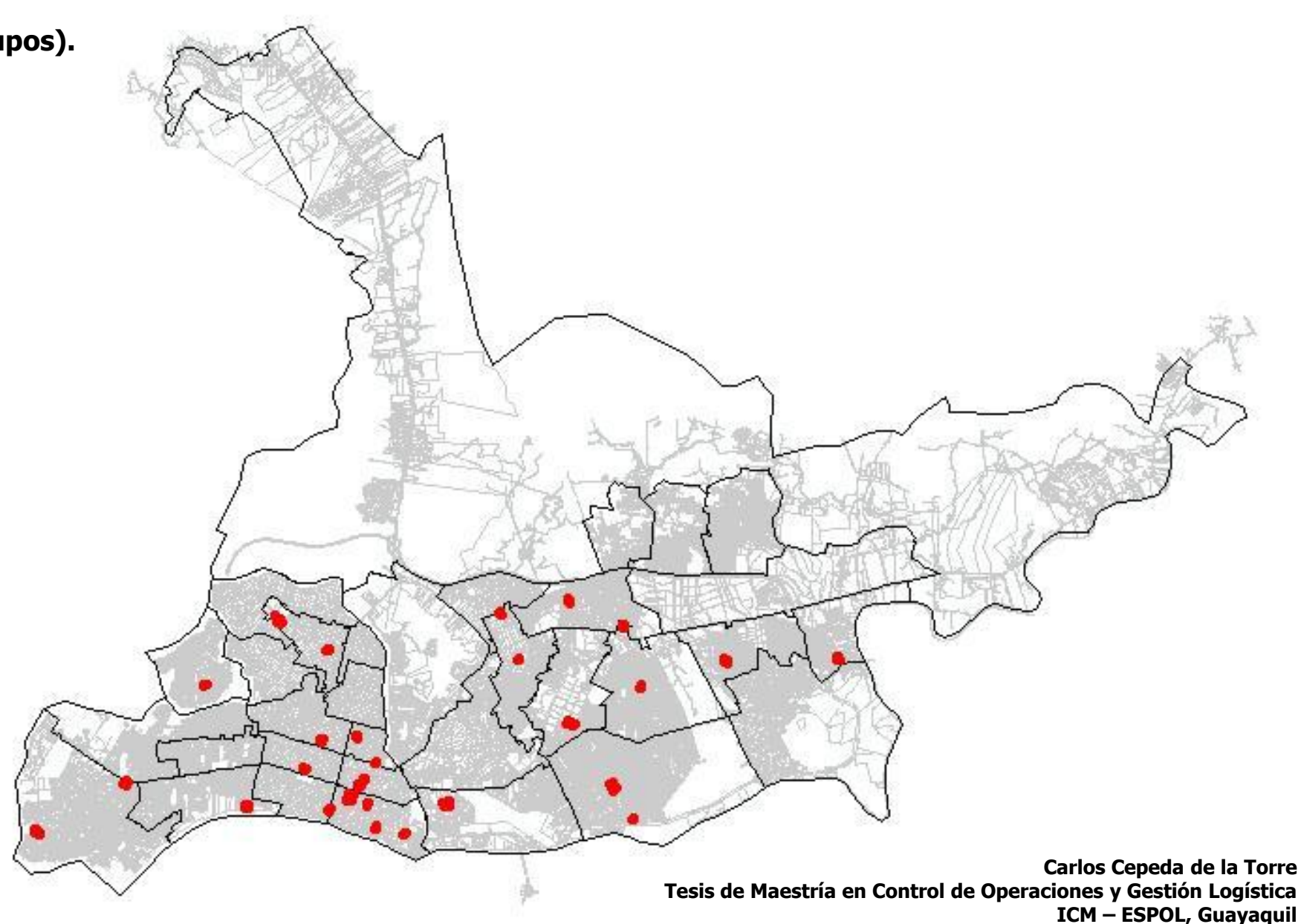


DISEÑO DE RED DE ABASTECIMIENTO DE ALIMENTOS CIUDAD DE GUAYAQUIL



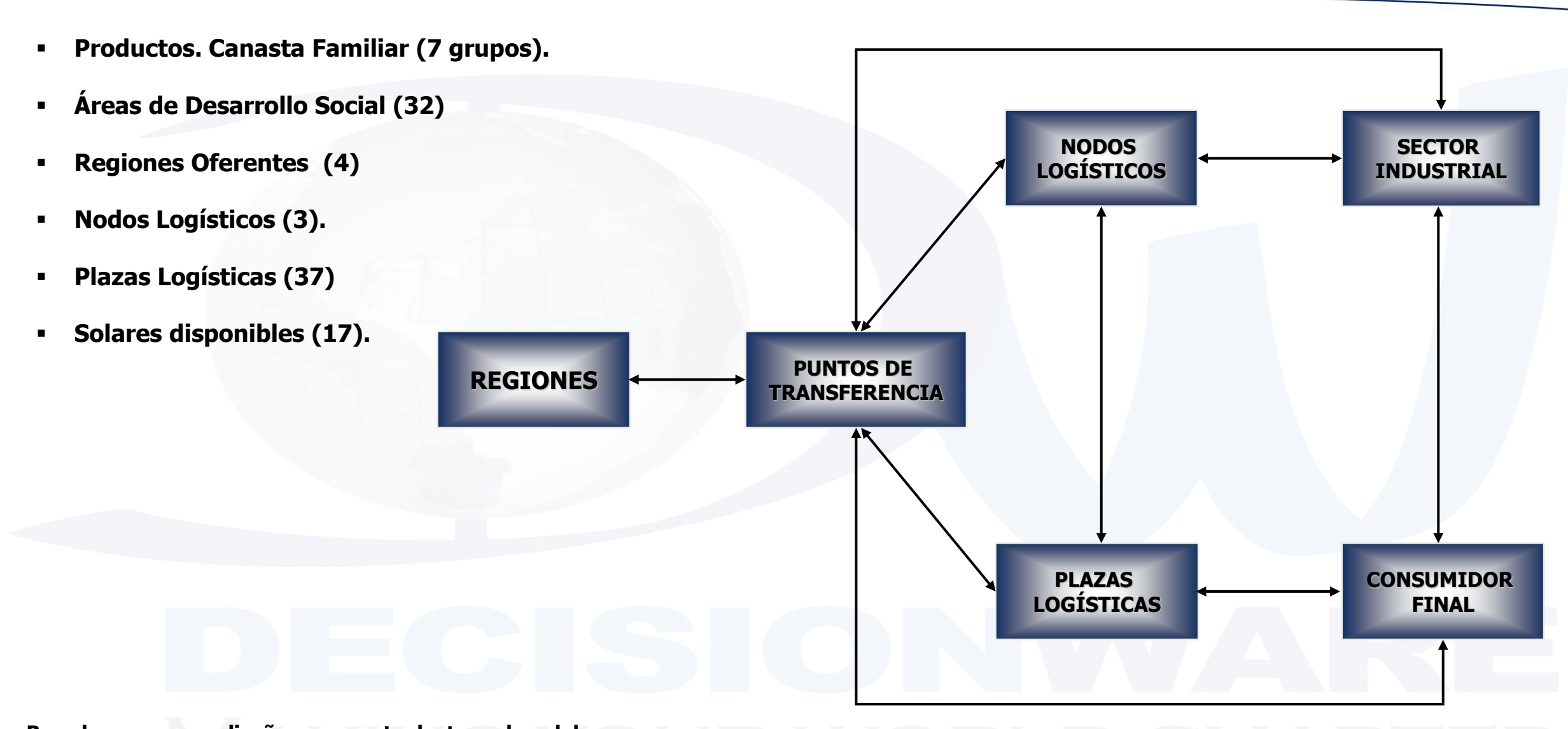
- Productos. Canasta Familiar (7 grupos).
- Áreas de Desarrollo Social (32)
- Regiones Oferentes (4)
- Nodos Logísticos (3).
- Plazas Logísticas (37)
- Lotes Disponibles (17).





DISEÑO DE RED DE ABASTECIMIENTO DE ALIMENTOS CIUDAD DE GUAYAQUIL





Basado en un diseño conceptual tomado del documento "Soporte Técnico del Plan Maestro de Abastecimiento de Alimentos y Seguridad alimentaria de Bogotá", Unidad Ejecutiva de Servicios Públicos.

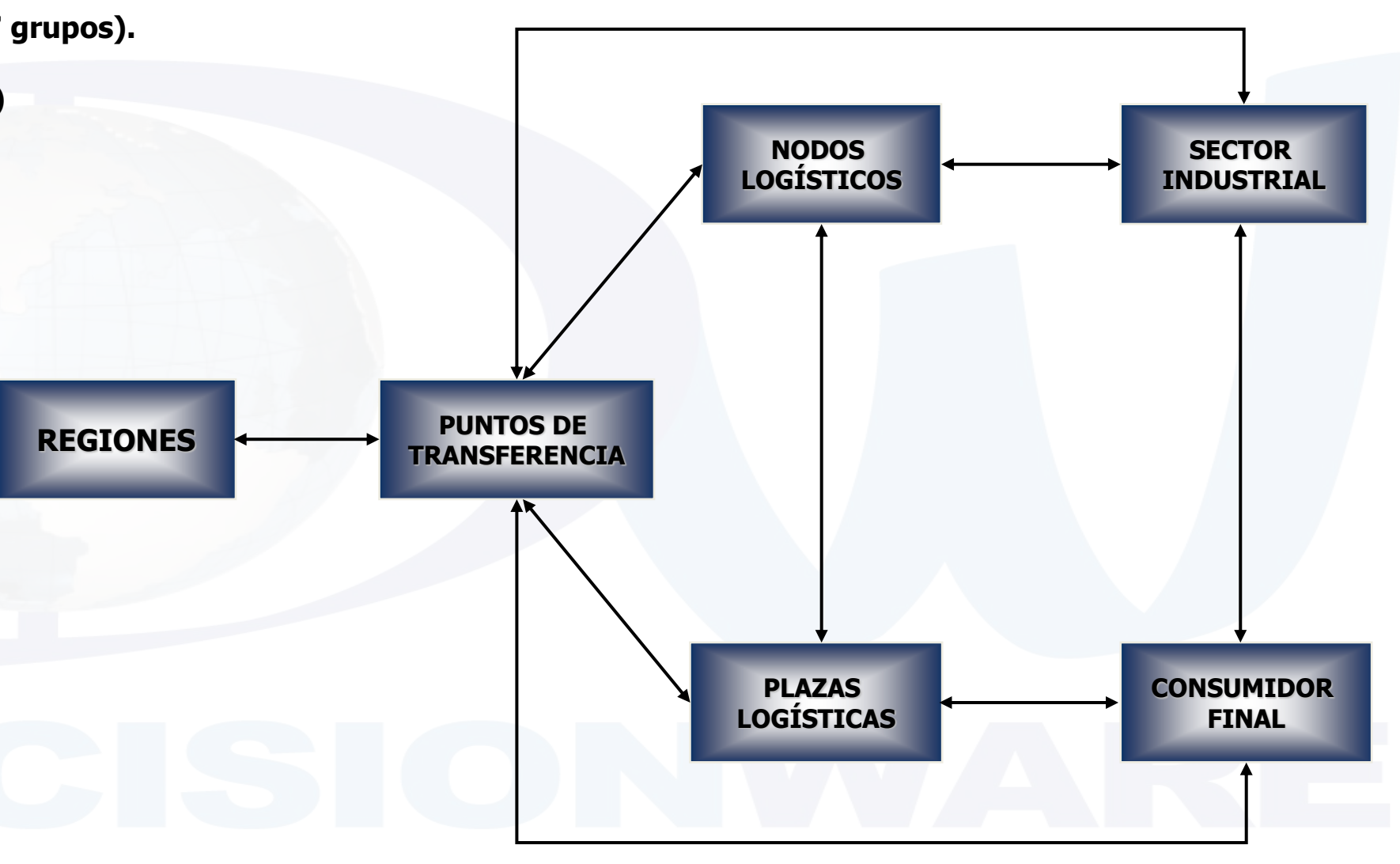
Carlos Cepeda de la Torre Tesis de Maestría en Control de Operaciones y Gestión Logística ICM — ESPOL, Guayaquil

DISEÑO DE RED DE ABASTECIMIENTO DE ALIMENTOS CIUDAD DE GUAYAQUIL



- Productos. Canasta Familiar (7 grupos).
- Áreas de Desarrollo Social (32)
- Regiones Oferentes (4)
- Nodos Logísticos (3).
- Plazas Logísticas (37)
- Solares disponibles (17).

Índice	Entidad				
С	Regiones				
f	Puntos de Transferencia				
n	Nodos Logísticos				
I	Plazas logísticas				
m	Detallistas/consumidor final				
р	Productos / categorías logísticas				
h	Nivel de procesamiento				
u, v	Áreas de Desarrollo social (ADS)				



Carlos Cepeda de la Torre Tesis de Maestría en Control de Operaciones y Gestión Logística ICM — ESPOL, Guayaquil



CONJUNTOS

Conjunto	Descripción			
DPF(f,p)	Regiones c conectadas al punto de transferencia f que demandan el producto p			
ECP(p,n)	Niveles de procesamiento h del producto p (primario, secundario) en el nodo n			
SPP(p)	Estado primario del producto p			
EPS(p)	Estado secundario del producto p			
FCN(n)	Puntos de transferencia f conectados al nodo logístico n			
CP(p)	Puntos de transferencia f por los cuales fluye el producto p			
FCR(c)	Puntos de transferencia f que se encuentran conectados a la región c			
PTF	Puntos de transferencia f			
	NODOS			
<i>MER</i>	Detallistas m – canales de distribución al cliente final del sistema			
LO	Plazas logísticas l			
CU(u)	Plazas Logísticas que pueden cubrir la demanda de la ADS u			
VCF(f)	Nodos logísticos n conectados al punto de transferencia f			
ICP(p)	Nodos logísticos que manejan el producto p;			
VLO	Nodos logísticos n			



PARAMETROS

Parámetro	Descripción	Unidades
$CCFN_n$	Costo fijo de construcción (\$) del nodo logístico n	\$
$CCVN_n$	Costo variable de construcción (\$/mts²) en el centro de distribución del nodo logístico n	\$/mts ²
$COFN_n$	Costo fijo operación del nodo logístico n	\$
$COVN_{p,h}$	Costo de operación variable del producto p en el nivel de procesamiento h en el nodo logístico	\$/ton
$CCFL_l$	Costo fijo de construcción de la plaza logística l	\$
$CCVL_l$	Costo variable de construcción de la plaza logística l	\$/m ²
$COFL_l$	Costo fijo de operación de la plaza logística l	\$
$COVL_{p,h}$	Costo de operación variable del producto p en el nivel de procesamiento h en la plaza logística	\$/ton
$CTRF_{c,f,p,h}$	Costo de transporte de la región c al punto de transferencia f del producto p en el nivel de procesamiento h	\$/ton
$CTFN_{f,n,p,h}$	Costo de transporte del punto de transferencia f al nodo logístico n del producto p en el nivel de procesamiento h	\$/ton
$CTFL_{f,l,p,h}$	Costo de transporte del punto de transferencia f a la plaza logística l del producto p en el nivel de procesamiento h	\$/ton
$CTFV_{f, v, p, h}$	Costo de transporte del punto de transferencia f a la ADS Industrial v del producto p en el nivel de procesamiento h	\$/ton
$CTNL_{n,l,p,h}$	Costo de transporte del nodo logístico n a la plaza logística l del producto p en el nivel de procesamiento h	\$/ton
$CTNU_{n,u,p,h}$	Costo de transporte del nodo logístico n a la ADS u del producto p en el nivel de procesamiento h	\$/ton
$CTLU_{l,u,p,h}$	Costo de transporte de la plaza logística l a la ADS u del producto p en el nivel de procesamiento h	\$/ton
$CTVU_{v,u,p,h}$	Costo de transporte de la ADS industrial v a la ADS u del producto p en el nivel de procesamiento h	\$/ton
$CWPP_{p,w}$	Costo de producción del producto p al nivel de productividad w	\$/ha
$CESI_{v,p}$	Costo de la expansión del sector industrial del producto p en la ADS industrial v	\$/m ²
$CTFU_{f,u,p,h}$	Costo de transporte del punto de transferencia f a la ADS u del producto p en el nivel de procesamiento h	\$/ton
$CTLV_{l,v,p,h}$	Costo de transporte de la plaza logística l a la ADS Industrial v del producto p en el nivel de procesamiento h	\$/ton
$CTNV_{n,v,p,h}$	Costo de transporte del nodo logístico n a la ADS Industrial v del producto p en el nivel de procesamiento h	\$/ton



VARIABLES

Variable	Descripción	Unidades
	REQUERIMIENTO DE ÁREAS	
$ADP_{c,p,w}$	Área destinada a la producción del producto p al nivel de productividad w en la región c	На
AEI _{v,p}	Área requerida en la ADS v para la expansión de la industria del producto p	m ²
ANC _n	Área requerida para el desarrollo del nodo logístico n	m ²
APL _I	Área requerida por la Plaza Logística I	m ²
	BINARIAS (DECISIÓN)	
ILU _{u,l}	Variable binaria que toma el valor de 1 si la Plaza Logística I se encarga del abastecimiento de la ADS u	ton
INL _n	Variable binaria que indica si se debe construir el nodo logístico n	
IPL _I	Variable binaria que toma el valor de 1 si la plaza logística I se construye	

DECISIONWARE MAKING YOUR WORLD SMARTER



VARIABLES

Variable	Descripción	Unidades					
PRODUCCIÓN/FLUJO							
$PPR_{c,p}$	PPR _{c,p} Producción total del producto p en la región c						
$QFI_{f,v,p,h}$	Cantidad de producto p en el nivel de procesamiento h (primario) que es enviada desde el punto de transferencia f a la ADS industrial v	ton					
$QFL_{f,l,p,h}$	Cantidad de producto p en el nivel de procesamiento h que es enviada desde el punto de transferencia f a la plaza logística l	ton					
$QFM_{f,u,m,p,h}$	Cantidad de producto p en el nivel de procesamiento h que es enviada desde el punto de transferencia f a la ADS u para el detallista m	ton					
$QFN_{f,n,p,h}$	Cantidad de producto p en el nivel de procesamiento h que es enviada desde el punto de transferencia f al nodo logístico n	ton					
$QFR_{c,f,p,h}$	Cantidad de producto p en el nivel de procesamiento h que es enviada desde el punto de transferencia f a la región c	ton					
$QIF_{f,\nu,p,h}$	Cantidad de producto p en el nivel de procesamiento h (secundario) que es enviada desde la ADS industrial v al punto de transferencia f	ton					
$QIL_{v,l,p,h}$	Cantidad del producto p en el nivel de procesamiento h que es enviada desde la industria de la ADS u a la plaza logística l	ton					
$QIM_{v,u,m,p,h}$	Cantidad del producto p en el nivel de procesamiento h que se envía desde la ADS industrial v al detallista m de la ADS u	ton					
$QIN_{n,v,p,h}$	Cantidad del producto p en el nivel de procesamiento h que se envía desde la ADS industrial v al nodo logístico n	ton					

Variable	Descripción	Unidades				
PRODUCCIÓN/FLUJO						
$QLF_{f,l,p,h}$	Cantidad de producto p en el nivel de procesamiento h que es enviada desde la plaza logística l al punto de transferencia f	ton				
$QLI_{I,v,p,h}$	Cantidad del producto p en el nivel de procesamiento h que se envía desde la plaza logística l a la industria de la ADS u	ton				
$QLM_{I,u,m,p,h}$	Cantidad del producto p en el nivel de procesamiento h que se envía desde la plaza logística l a los detallistas m de la ADS u	ton				
$QLN_{n,l,p,h}$	Cantidad del producto p en el nivel de procesamiento h que se envía desde la plaza logística l al nodo logístico n	ton				
$QNF_{f,n,p,h}$	Cantidad de producto p en el nivel de procesamiento h que es enviada desde el nodo logístico n al punto de transferencia f					
$QNI_{n,\nu,p,h}$	Cantidad del producto p en el nivel de procesamiento h que se envía desde el nodo logístico n a la industria procesadora que se encuentra en la ADS industrial v	ton				
$QNL_{n,l,p,h}$	Cantidad del producto p en el nivel de procesamiento h que se envía desde el nodo logístico n a la plaza logística l	ton				
$QNM_{n,u,m,p,h}$	Cantidad del producto p en el nivel de procesamiento h que se envía desde el nodo logístico n a los detallistas m de la ADS u	ton				
$QPR_{c,p,h}$	Cantidad ofertada por la región c del producto p en el nivel de procesamiento h	ton				
$QRF_{c,f,p,h}$	Cantidad enviada desde la región c al punto de transferencia f del producto p en el nivel de procesamiento h	ton				



RESTRICCIONES

AMPR_c - Área máxima de producción por región

 $\Sigma_{p \in POR(c)} \Sigma_{w \in WCP(p)} ADP_{c,p,w} \leq AMDR_c$

 $\forall c \in ROF$

OTPR_{c,p}. Oferta total por región

 $\boldsymbol{PPR}_{c,p} = \boldsymbol{\varSigma}_{w \in W \subset P(p)} \boldsymbol{ADP}_{c,p,w} \boldsymbol{WPRP}_{p,w}$

 $\forall c \in ROF \ \forall p \in POR(c)$

ORPN_{c,p,h} - Composición de la oferta por región $QPR_{c,p,h} = PPR_{c,p}PPRE_{c,p,h}$

BRPT_{c.p.h} - Balance regiones/puntos de transferencia

 $\forall c \in ROF \quad \forall p \in POR(c) \quad \forall h \in ECP(p)$

 $QPR_{c,p,h} = \Sigma_{f \in FCR(c)} QRF_{c,f,p,h}$

 $\forall c \in ROF \quad \forall p \in POR(c) \quad \forall h \in ECP(p)$

BFPT_{f,p,h} - Balance de flujos en el punto de transferencia

$$\begin{split} \mathcal{L}_{c \in SPF(f,p)} \ QRF_{c,f,p,h} + \mathcal{L}_{n \in NCF(f)} \ QNF_{f,n,p,h} + \mathcal{L}_{v \in VCP(p)} QIF_{f,v,p,h} \\ + \mathcal{L}_{l \in PLO} QLF_{f,l,p,h} = \\ \mathcal{L}_{c \in SPF(f,p)} \ QFN_{c,m,h} + \mathcal{L}_{c \in PLO} QFI_{c,m,h} + \mathcal{L}_{c$$

 $egin{align*} & \mathcal{L}_{n \in NCF(f)} \ QFN_{f,n,p,h} + \mathcal{L}_{i \in PLO} QFL_{f,l,p,h} + \mathcal{L}_{v \in VCP(p)} QFI_{f,v,p,h} + \ & \mathcal{L}_{c \in DPF(f,v)} QFR_{c,f,v,h} + \mathcal{L}_{u \in ADS} \mathcal{L}_{m \in MER} QFM_{f,u,m,v,h} \end{aligned}$

 $\forall f \in PTF \ \forall p \in PCF(f) \ \forall h \in ECP(p)$

DNCD_n - Diseño de Capacidad Nodo Logístico

$$\begin{split} & \mathcal{L}_{f \in FCN(n)} \mathcal{L}_{p \in PCN(n)} \mathcal{L}_{h \in ECP(p)} QFN_{f,n,p,h} RAPN_p + \\ & \mathcal{L}_{t \in PLO} \mathcal{L}_{p \in PCN(n)} \mathcal{L}_{h \in ECP(p)} QLN_{n,l,p,h} RAPN_p + \\ & \mathcal{L}_{p \in PCN(n)} \mathcal{L}_{v \in VCP(p)} \mathcal{L}_{h \in EPS(p)} QIN_{n,v,p,h} RAPN_p \leq ANC_n \end{split}$$

 $\forall n \in NLO$

DNAT_n - Diseño de capacidad Nodo Logístico/ Control Inversión

 $ANC_n \leq DANL_n INL_n$

 $\forall n \in NLO$

NNLO - Número de nodos logísticos

 $\Sigma_{n \in MU \cap INL_n} > = NMNL$

BFNL_{n,p,h} - Balance flujo nodo logístico

$$\begin{split} & \mathcal{E}_{f \in FCN(n)} QFN_{f,n,p,h} + \mathcal{E}_{l \in PLO} QLN_{n,l,p,h} + \mathcal{E}_{v \in VCP(p)} QIN_{n,v,p,h} = \\ & \mathcal{E}_{l \in PLO} QNL_{n,l,p,h} + \mathcal{E}_{u \in ADS} \mathcal{E}_{m \in MER} QNM_{n,u,m,p,h} + \\ & \mathcal{E}_{v \in VCP(p)} QNI_{n,v,p,h} + \mathcal{E}_{f \in FCN(n)} QNF_{f,n,p,h} \end{split}$$

 $\forall n \in NLO \quad \forall p \in PCN(n) \quad \forall h \in ECP(p)$

BFPL_{l,p,h} - Balance de flujos en plazas logísticas.

$$\begin{split} & \mathcal{\Sigma}_{f \in FCP(p)} QFL_{f,l,p,h} + \mathcal{\Sigma}_{n \in NCP(n)} QNL_{n,l,p,h} + \mathcal{\Sigma}_{v \in VCP(p)} QIL_{l,u,p,h} = \\ & \mathcal{\Sigma}_{n \in UCL(l)} \mathcal{\Sigma}_{m \in MER} QLM_{l,u,m,p,h} + \mathcal{\Sigma}_{n \in NCP(p)} QLN_{n,l,p,h} + \\ & \mathcal{\Sigma}_{v \in VCP(p)} QLI_{l,u,p,h} + \mathcal{\Sigma}_{FCP(p)f \in} QLF_{f,l,p,h} \end{split}$$

 $\forall l \in PLO \quad \forall p \in PRO \quad \forall h \in ECP(p)$



RESTRICCIONES

DCPL_I - Diseño capacidad plaza logística.

$$\begin{split} & \mathcal{L}_{f \in PTF} \mathcal{L}_{p \in PCF(f)} \mathcal{L}_{h \in ECP(p)} QFL_{f,l,p,h} \ RAPL_{p} \\ & + \mathcal{L}_{n \in NLO} \mathcal{L}_{p \in PCN(n)} \mathcal{L}_{h \in ECP(p)} QNL_{n,l,p,h} \ RAPL_{p} + \\ & \mathcal{L}_{p \in PRO} \mathcal{L}_{v \in VCP(p)} \mathcal{L}_{h \in EPS(p)} QIL_{l,u,p,h} \ RAPL_{p} \leq APL_{l} \end{split}$$

∀l∈PLO

DPCI_I - Diseño plaza logística/ control de inversión

 $APL_l \leq DAPL_l IPL_l$

 $\forall l \in PLO$

DUMP_{u,m,p,h} - Cubrimiento demanda ADS

 $DEMM_{u,m,p,h} = \sum_{i=1}^{n} \sum_{j=1}^{n} \sum_{j=1}^{n} \sum_{j=1}^{n} \sum_{i=1}^{n} \sum_{j=1}^{n} \sum_{j=1}^{n}$

$$\begin{split} & \mathcal{E}_{f \in FCP(f)} QFM_{f,u,m,p,h} + \mathcal{E}_{n \in NCP(p)} QNM_{n,u,m,p,h} + \\ & \mathcal{E}_{v \in VCP(p)} QIM_{v,u,m,p,h} + \mathcal{E}_{i \in LCU(u)} QLM_{l,u,m,p,h} \end{split}$$

 $\forall u \in ADS \quad \forall m \in MER \quad \forall p \in PRO \quad \forall h \in ECP(p)$

BRPE_{c,p,h} - Demanda de regiones externas

 $DMPR_{c,p,h} = \Sigma_{f \in FCR(c)} QFR_{c,f,p,h}$

 $\forall c \in RDE \quad \forall p \in PDR(c) \quad \forall h \in ECP(p)$

BNSI_{v.p} - Balance Sector Industrial

 $\Sigma_{n \in NCP(p)} \Sigma_{h \in EPP(p)} QNI_{n,v,p,h} TATP_p +$

 $\Sigma_{f \in FCP(p)} \Sigma_{h \in EPP(p)} QFI_{f,v,p,h} TATP_p +$

 $\Sigma_{l \in PLO} \Sigma_{h \in EPP(p)} QLI_{l,\nu,p,h} TATP_p = \Sigma_{l \in PLO} \Sigma_{h \in EPS(p)} QIL_{l,\nu,p,h} +$

 $\Sigma_{u \in ADS} \Sigma_{m \in MER} \Sigma_{h \in EPS(p)} QIM_{v,u,m,p,h} +$

 $\sum_{f \in FCP(p)} \sum_{h \in EPS(p)} QIF_{f,\nu,p,h} + \sum_{n \in NCP(p)} \sum_{h \in EPS(p)} QIN_{n,\nu,p,h}$

 $\forall v \in ADSI \quad \forall p \in PCV(v)$

CASI_{v,p} - Capacidad de expansión del sector industrial

$$\begin{split} \mathcal{L}_{n \in NCP(p)} \mathcal{L}_{h \in EPP(p)} QNI_{n,v,p,h} + \mathcal{L}_{f \in FCP(p)} \mathcal{L}_{h \in EPP(p)} QFI_{f,v,p,h} + \\ \mathcal{L}_{l \in PLO} \mathcal{L}_{h \in EPS(p)} QLI_{l,v,p,h} \leq CAPP_{v,p} + ESI_{v,p} \end{split}$$

 $\forall v \in ADSI \quad \forall p \in PCV(v)$

ESIP_{v,p} - Expansión del sector industrial

 $AEI_{\nu,p} REAI_p = ESI_{\nu,p}$

 $\forall v \in ADSI \quad \forall p \in PCV(v)$

AEIV_v - Área máxima de expansión industrial

 $\Sigma_{p \in PCV(v)} AEI_{v,p} \leq AMEI_v$

 $\forall v \in ADSI$

DZIL_u - Diseño zona de integración logística

 $|\mathcal{L}_{l \in LCU(U)} ILU_{u,l}| > = 1$

 $\forall u \in ADS$

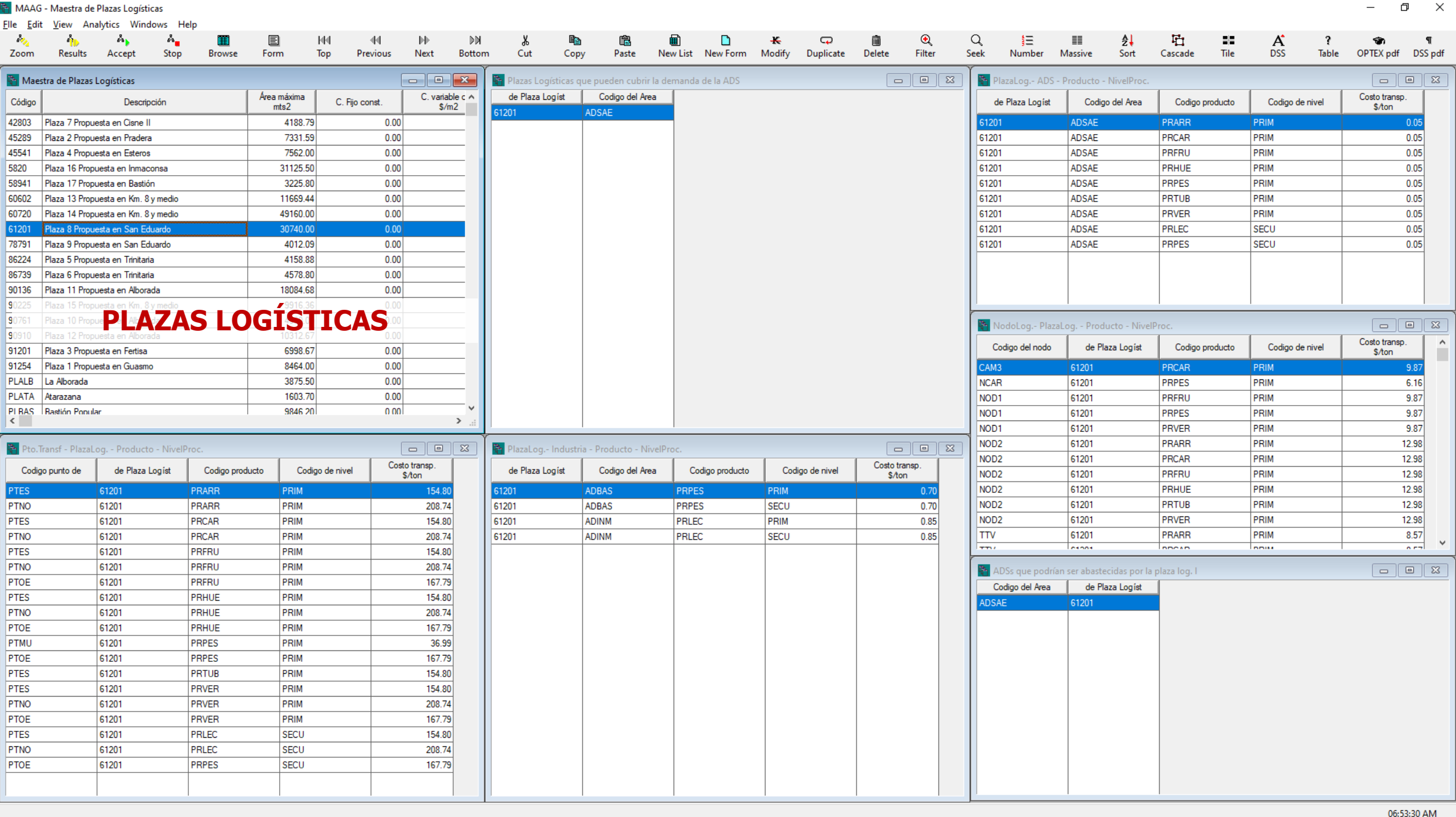
DRIWARE
WORLD SMARTER

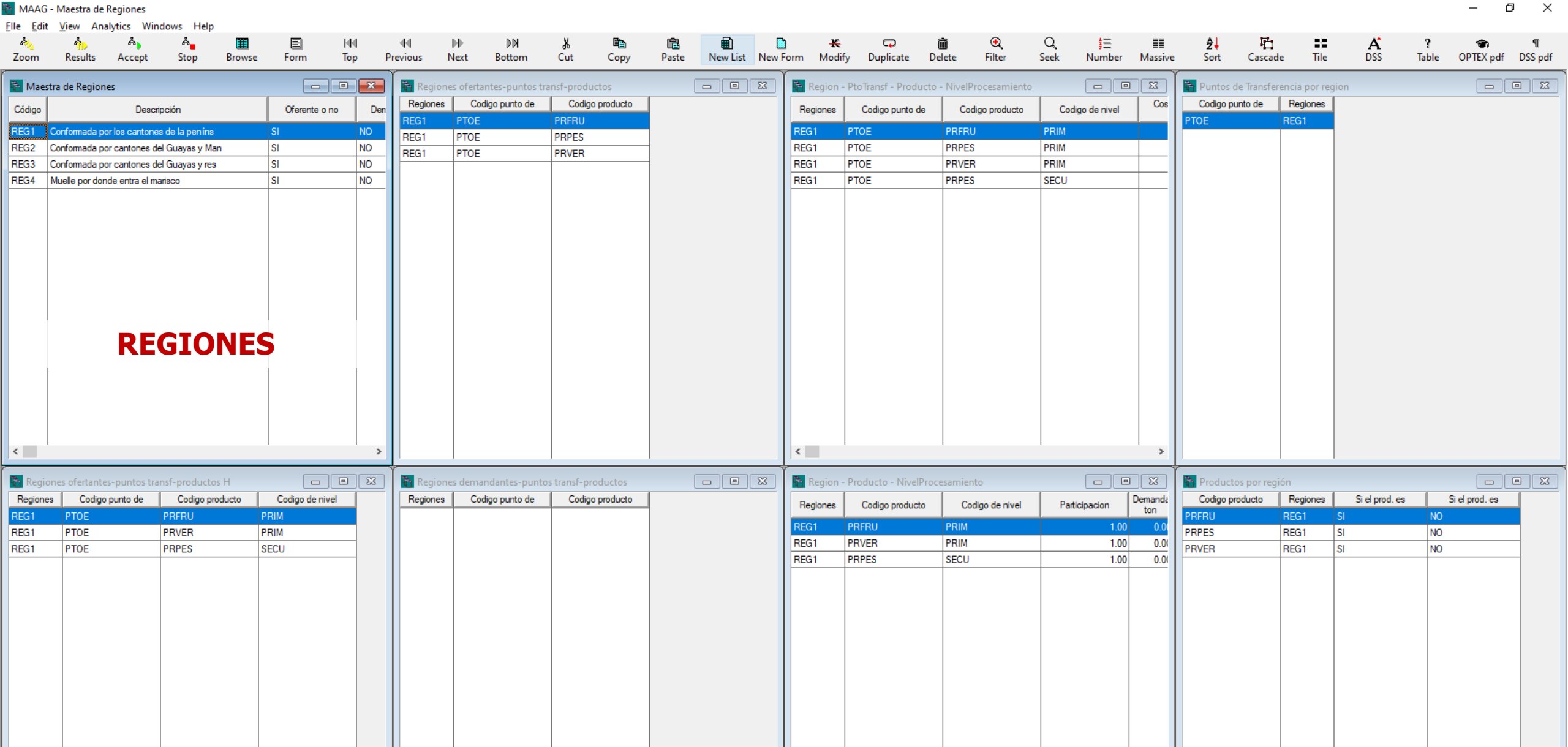


FUNCIÓN OBJETIVO



DECISIONWARE MAKING YOUR WORLD SMARTER





<

COSTO DE OPERACIÓN DE PLAZAS LOGÍSTICAS - 2006



Plaza (Mercado)	Costo operativo total 2006 (\$)
Artesanal Machala	67.636,00
Artículos Varios	49.707,21
Asisclo Garay	72.002,46
Bastión Popular	133.489,20
Batallón del Suburbio	174.702,00
Caraguay	387.812,00
Central	176.523,00
Este	65.533,00
Florida	169.097,98
Gran Colombia	63.083,85
Guasmo Sur	165.657,00
Huancavilca	195.220,00
Jockey Club	56.566,00
José Mascote	24.140,00
Mapasingue Oeste	161.549,00
Norte	78.566,00
Oeste	66.640,10
Pascuales	101.506,00
Portete	10.109,10
Prosperina	181.456,00
San Jacinto	123.410,81
Sauces 4	66.776,74
Sauces 9	176.285,67
Trinitaria	125.656,00

CANASTA BÁSICA FAMILIAR



Grupos, y Artículos de Consumo	Unidad de Medida	Cantidad fija de consumo		
CEREALES Y DERIVAD	oos			
Arroz	Kilo	24.96		
Fideo	Kilo	4.00		
Pan	Kilo	9.29	FRUT	TAS FRESCAS
CARNE Y PREPARACI	ÓN		Aguacate	Kilo
Carne con hueso	Kilo	3.38	Limón	Kilo
Carne sin hueso	Kilo	4.80	Naranja	Kilo
Carne de pollo	Kilo	1.77	Naranjilla	Kilo
PESCADO Y MARISC	os		-	
Pescado	Kilo	0.96	Guineo	Kilo
Atún enlatado	198 gramos	1.79	Plátano	Kilo
GRASAS Y ACEITES	S		AZÚCAR, SA	AL Y CONDIMENTOS
Aceite vegetal	Litro	2.96	Azúcar	Kilo 1
Manteca vegetal	500 gramos	3.67	Sal	2 kilos
LECHE Y HUEVOS			BIDAS GASEOSAS	
Huevo de gallina	Kilo	2.79	Café Molido	
Leche fresca	Litro	36.44		Kilo
Queso	Kilo	1.21	Cola (tienda)	300 cc
VERDURAS FRESCA	is		OTROS PRODI	UCTOS ALIMENTICIOS
Arveja Tierna	Kilo	0.76	Gelatina	85 gramos
Cebolla Blanca	Kilo	0.98	ALIMENTOS Y BE	BIDAS FUERA DE HOGAR
Cebolla Colorada	Kilo	4.54	Cola (salón)	300 cc 1
Choclo	Kilo	0.84		
Fréjol Tierno	Kilo	0.62	Almuerzo	unidad
Haba Tierna	Kilo	0.49		
Tomate riñón	Kilo	4.89		
TUBÉRCULOS Y DERIVA	ADOS			
Papa chola	Kilo	23.59		
Yuca	Kilo	3.45		
LEGUMINOSAS Y DERIV				
Lenteja	Kilo	0.71		
Maní	Kilo	0.34		
Fréjol Seco	Kilo	1.27		

FR	UTAS FRESCAS	
Aguacate	Kilo	0.46
Limón	Kilo	0.49
Naranja	Kilo	7.04
Naranjilla	Kilo	0.93
Guineo	Kilo	6.92
Plátano	Kilo	8.03
AZÚCAR,	SAL Y CONDIMENTOS	
Azúcar	Kilo	12.70
Sal	2 kilos	0.85
CAFÉ Y	BEBIDAS GASEOSAS	
Café Molido	Kilo	1.49
Cola (tienda)	300 cc	7.32
OTROS PRO	DDUCTOS ALIMENTICIOS	
Gelatina	85 gramos	2.29
ALIMENTOS Y	BEBIDAS FUERA DE HOGAR	
Cola (salón)	300 cc	14.77
Almuerzo	unidad	8.21

CADENAS PRODUCTIVAS



Grupo	Productos	Número de productos		
Cereales y derivados	Arroz	1		
Carne y preparación	Carne de res	1		
Pescado y Mariscos	Pescado, atún enlatado	2		
Leche y Huevos	Huevo de gallina, Leche y queso	3		
Verduras frescas	Arveja tierna, Choclo, Fréjol Tierno, Haba Tierna, Tomate riñón	5		
Tubérculos y derivados	Papa chola, Yuca	2		
Frutas Frescas	Naranja, Guineo, Naranjilla, Limón.	4		

ÁREAS DE DESARROLLO SOCIAL



	AREA DE	2001		2005		2007	
No.	DESARROLLO SOCIAL ADS	Población Censo	%	Población Estimada	%	Población Estimada	%
1	9 DE OCTUBRE	26,819	1.34	27,685	1.26	30,920	1.34
2	AEROPUERTO	30,179	1.51	34,062	1.55	34,794	1.51
3	ALBORADA	150,925	7.57	172,427	7.86	174,005	7.57
4	AYACUCHO	30,330	1.52	31,366	1.43	34,968	1.52
5	BASTION	76,098	3.82	84,158	3.84	87,735	3.82
6	BATALLON	110,097	5.52	112,353	5.12	126,933	5.52
7	CEIBOS	12,615	0.63	15,249	0.70	14,544	0.63
8	CISNE II	75,364	3.78	73,229	3.34	86,889	3.78
9	ESTEROS	39,921	2.00	44,808	2.04	46,026	2.00
10	FEBRES CORDERO	31,803	1.59	31,791	1.45	36,666	1.59
11	FERTISA	103,180	5.17	105,509	4.81	118,958	5.17
12	FLOR DE BASTION	62,178	3.12	85,951	3.92	71,686	3.12
13	FORTIN	47,299	2.37	73,625	3.36	54,532	2.37
14	GARAY	62,632	3.14	63,950	2.92	72,210	3.14
15	GARCIA MORENO	55,596	2.79	56,899	2.59	64,098	2.79
16	GUASMO	200,875	10.07	210,023	9.58	231,593	10.07
17	INMACONSA	12,886	0.65	18,286	0.83	14,857	0.65
18	KM 8 Y MEDIO	76,220	3.82	77,500	3.53	87,876	3.82
19	LETAMENDI	102,414	5.13	103,740	4.73	118,075	5.13
20	MAPASINGUE	69,281	3.47	73,596	3.36	79,876	3.47
21	MARTHA DE ROLDOS	35,066	1.76	41,054	1.87	40,428	1.76
22	NUEVA PROSPERINA	38,800	1.95	50,167	2.29	44,733	1.95
23	PASCUALES	31,754	1.59	35,456	1.62	36,610	1.59
24	PRADERA	79,747	4.00	83,312	3.80	91,942	4.00
25	PROSPERINA	72,999	3.66	84,734	3.86	84,162	3.66
26	ROCAFUERTE	49,644	2.49	51,556	2.35	57,236	2.49
27	SAN EDUARDO	25,285	1.27	31,111	1.42	29,152	1.27
28	TRINITARIA	75,605	3.79	83,282	3.80	87,167	3.79
29	URDANETA	25,794	1.29	26,313	1.20	29,738	1.29
30	URDESA	39,743	1.99	43,599	1.99	45,821	1.99
31	VEINTINUEVE	64,932	3.26	72,898	3.32	74,861	3.26
32	VERGELES	36,001	1.80	44,611	2.03	41,506	1.80
33	FUERA DE LAS ADS	42,436	2.13	48,364	2.21	48,925	2.13
	TOTALES	1,994,518	100.00	2,192,664	100.00	2,299,523	100.00

ÁREAS DE DESARROLLO SOCIAL





No.	AREA DE DESARROLLO SOCIAL ADS	% de Hogares según nivel de ingresos mensuales			
		Menos de \$ 200	De \$200 a \$499	\$500 o más	
1	9 DE OCTUBRE	9,70	29,50	60,80	
2	AEROPUERTO	9,70	29,50	60,80	
3	ALBORADA	9,70	29,50	60,80	
4	AYACUCHO	9,70	29,50	60,80	
5	BASTION	18,30	56,60	25,10	
6	BATALLON	21,60	45,40	33,00	
7	CEIBOS	9,70	29,50	60,80	
8	CISNE II	17,70	44,80	37,50	
9	ESTEROS	9,70	29,50	60,80	
10	FEBRES CORDERO	9,70	29,50	60,80	
11	FERTISA	21,80	45,00	33,20	
12	FLOR DE BASTION	24,90	57,00	18,10	
13	FORTIN	23,40	58,10	18,50	
14	GARAY	9,70	29,50	60,80	
15	GARCIA MORENO	9,70	29,50	60,80	
16	GUASMO	16,30	46,90	36,80	
17	INMACONSA	16,50	51,40	32,10	
18	KM 8 Y MEDIO	19,60	39,30	41,10	
19	LETAMENDI	9,70	29,50	60,80	
20	MAPASINGUE	13,60	43,10	43,30	
21	MARTHA DE ROLDOS	9,70	29,50	60,80	
22	NUEVA PROSPERINA	26,00	55,50	18,50	
23	PASCUALES	22,90	50,20	26,90	
24	PRADERA	9,70	29,50	60,80	
25	PROSPERINA	23,30	47,90	28,80	
26	ROCAFUERTE	9,70	29,50	60,80	
27	SAN EDUARDO	9,70	29,50	60,80	
28	TRINITARIA	24,20	54,20	21,60	
29	URDANETA	9,70	29,50	60,80	
30	URDESA	9,70	29,50	60,80	
31	VEINTINUEVE	9,70	29,50	60,80	
32	VERGELES	16,80	42,40	40,80	

REGIONES OFERENTES



Regiones	Vía de entrada	Jurisdicciones ofertantes
Región 1	Vía Guayaquil – Salinas (Entrada "Oeste")	Península de Santa Elena
Región 2	Vía a Daule (Entrada "Norte")	Manabí, y los cantones del Guayas: Pedro Carbo, Isidro Ayora, Lomas de Sargentillo, Nobol, Daule, Santa Lucía Palestina, Colimes, Balzar y El Empalme
Región 3	Puente Alterno Norte (Entrada "Este")	Cantones del Guayas: Samborondón, Salitre, Yaguachi, Milagro, Durán, Marcelino Maridueña, Naranjal, Balao, Naranjito, El Triunfo, Gral. Antonio Elizalde, Simón Bolívar, Alfredo Baquerizo Moreno, Resto provincias ofertantes.
Región 4	Muelles "Artesanal", e "Isla Puná" (Entrada "Sur")	Posorja, Puná.

CENTROS LOGÍSTICOS



Nombre	Ubicación	Detalle	
Terminal de Transferencia de Víveres	Av. Perimetral y Marciel Laniado de Wing, contigua a la ciudadela Montebello (Norte de la ciudad)	Recibe productos alimenticios provenientes de las regiones 2 y 3	
Caraguay	Sector Pradera (Sur de la ciudad).	Recibe pescado y mariscos provenientes de la región 4.	

DECISIONWARE MAKING YOUR WORLD SMARTER

RED MERCADOS



Nombre del Mercado	A.D.S.	Area del solar	Area de construcción	Total puestos
Artesanal Guayaquil	Rocafuerte	2,805.90	5,414.10	173
Artesanal Machala	9 de Octubre	4,173.00	8,691.00	498
Artículos Varios	Rocafuerte	27,212.00	4,043.00	1,456
Asisclo Garay	Urdaneta	3,336.00	2,490.00	197
Bastión Popular	Bastión	9,846.24	4,300.00	269
Batallón del Suburbio	Veintinueve	12,283.00	6,113.00	450
Caraguay	Pradera	21,770.00	11,977.00	734
Central	Rocafuerte	589.14	5,891.47	651
Este	Rocafuerte	4,305.00	2,281.52	87
Florida	Km. 8 y medio	20,979.00	7,894.00	510
Gran Colombia	Letamendi	1,880.00	1,880.00	152
Grau Ruiz	Veintinueve	-	_	142
Guasmo Norte	Guasmo	543.38	543.38	111
Guasmo Sur	Guasmo	10,517.00	4,360.00	300
Huancavilca	Esteros	10,532.00	5,123.00	326
Jockey Club	García Moreno	2,115.00	909.00	48
José Mascote	9 de Octubre	3,818.00	7,636.00	273
La Bahía	3 de Octubie	16,380.53	16,380.53	-
Las Esclusas	Guasmo			317
		14,831.00	6,902.00	
Mapasingue Oeste	Mapasingue	1,820.00	1,232.00	85
Norte	Rocafuerte	1,387.44	787.56	132
Oeste	Urdaneta	1,333.00	1,031.00	97
Pasaje Comercial El Correo	Rocafuerte	611.00	611.00	133
Pascuales	Pascuales	6,696.00	1,195.00	131
Plaza de Flores Zaida Castillo	9 de Octubre	3,800.00	1,392.00	81
Plaza de la Suerte (Loteros)	Rocafuerte	621.23	320.00	-
Portete	Batallón	2,648.25	386.70	-
Prosperina	Prosperina	5,269.00	4,244.64	225
Puerto Hondo (Asoc. 2 de Diciembre)	-	448.00	386.00	A 7 -
San Francisco	Mapasingue	2,482.00	1,484.00	61
San Gregorio	Guasmo	-	-	88
San Jacinto	Km. 8 y medio	5,951.56	13,903.12	-
Santa Teresita	Veintinueve	/// // -	T -	144
Sauces 4	Alborada	3,958.88	1,249.00	120
Sauces 9	Alborada	6,976.00	6,350.33	404
Trinitaria	Trinitaria	4,128.00	2,429.00	171

SOLARES DISPONIBLES PARA CONSTRUCCIÓN DE PLAZAS LOGÍSTICAS



No.	ADS de posible ubicación	Área del solar
1	Guasmo	8.464,00
2	Pradera	7.331,59
3	Fertisa	6.998,67
4	Esteros	7.562,00
5	Trinitaria	4.158,88
6	Trinitaria	4.578,80
7	Cisne II	4.188,79
8	San Eduardo	30.740,00
9	San Eduardo	4.012,09
10	Alborada	4.900,00
11	Alborada	18.084,68
12	Alborada	10.312,67
13	Km. 8 y medio	11.669,44
14	Km. 8 y medio	49.160,00
15	Km. 8 y medio	9.916,36
16	Inmaconsa	31.125,50
17	Bastión	3.225,80

ESCENARIO 1 REDISTRIBUCIÓN DEL NÚMERO ACTUAL DE PLAZAS DE MERCADO



El objetivo de este primer escenario fue establecer una óptima distribución de las plazas de mercado dentro de la ciudad y compararla con la actual. Este escenario surge debido a la falta de sustento técnico que hasta ahora se da en las decisiones que se toman en relación a la creación de plazas en los diferentes sectores de la ciudad.

De los resultados dados por el modelo, se tiene que del total de plazas existentes, 25 fueron correctamente creadas según la demanda estimada de productos. Cinco son las plazas construidas actualmente que no fueron elegidas por el modelo planteado.

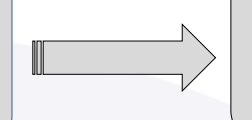
En su reemplazo, se escogió cinco plazas que se encuentran ubicadas en las áreas de desarrollo social Trinitaria, Alborada, Bastión, Cisne II y San Eduardo, las cuales ocupan un total de 7,437.6 m² para el manejo de los productos considerados en el estudio.

El resto de plazas suman un total de 68,244.7 m².

ESCENARIO 1 REDISTRIBUCIÓN DEL NÚMERO ACTUAL DE PLAZAS DE MERCADO



SAUCES 9
SAN JACINTO
CENTRAL
JOSÉ MASCOTE
LAS ESCLUSAS



TRINITARIA ALBORADA BASTIÓN CISNE II SAN EDUARDO

FLUJO DESDE "ENTRADA ESTE" A "PLAZAS LOGÍSTICAS"

Plaza Logística	Cantidad enviada (ton.)
Plaza Propuesta en San Eduardo	190.03
Plaza Propuesta en Trinitaria	12,071.86
Plaza Propuesta en Alborada	3,998.50
La Alborada	10,850.07
Atarazana	4,097.14
Bastión Popular	15,948.60
Batallón del Suburbio	17,688.33
Este	3,963.29
Florida	10,924.98
Garay	4,401.01
Gran Colombia	10,630.64
Grau Ruiz	12,111.37
Guasmo Sur	17,475.92
Guasmo Norte	5,434.00
Huancavilca	23,590.72
Jockey Club	5,004.58
Mapasingue Oeste	9,791.49
Mercado Santa Teresita	2,538.96
Oeste	4,200.31
Pascuales	4,727.45
Portete	1,828.57
Prosperina	12,600.84
San Francisco	5,125.49
San Gregorio	2,945.28

FLUJO DESDE "NUEVO CAMAL" A "PLAZAS LOGÍSTICAS"

Plaza Logística	Cantidad enviada (ton.)
Plaza Propuesta en Cisne II	1,475.49
Plaza Propuesta en San Eduardo	310.48
Plaza Propuesta en Alborada	370.58
La Alborada	2,283.86
Bastión Popular	1,406.30
Florida	1,628.13
Garay	2,026.67
Plaza de Víveres Gómez Rendón	682.68
Huancavilca	3,628.50
Jockey Club	372.43
Mapasingue Oeste	154.90
Mercado Santa Teresita	797.32
Norte	609.60
Oeste	646.05
Pascuales	3,454.27
Portete	2,701.22
Prosperina	990.56
San Francisco	1,718.55
San Gregorio	3,976.80
Trinitaria	1,856.78

RESULTADOS GENERALES



Nodos logísticos	Área Requerida (m²)
Nodo - Entrada Este	49,625.6
Nodo - Entrada Norte	10,276.5
Nodo - Entrada Oeste	6,259.6
Nuevo Camal (*)	83.3
TOTAL:	66,245.0

Región	Producción (ton.)	%
Región 3	233,230.60	53.59
Región 2	136,387.52	31.34
Región 1	62,595.95	14.38
Región 4	2,999.75	0.69
TOTAL:	435,213.82	100.00

PLAZAS LOGÍSTICAS ELEGIDAS POR EL MODELO





Plazas	Área Requerida (m²)
Huancavilca	8,832.5
Batallón del Suburbio	6,740.2
Guasmo Sur	6,406.4
Bastión Popular	5,265.2
Prosperina	4,934.7
Plaza Propuesta en Trinitaria	4,096.0
La Alborada	3,875.5
Florida	3,810.8
Garay	3,019.8
Pascuales	2,793.3
San Gregorio	2,730.5
Portete	2,648.3
San Francisco	2,482.0
Grau Ruiz	2,127.4
Plaza Propuesta en Alborada	2,027.6
Jockey Club	1,903.6
Gran Colombia	1,880.0
Mapasingue Oeste	1,820.0
Atarazana	1,375.9
Oeste	1,333.0
Este	1,134.1
Plaza de Víveres Gómez Rendón	876.8
Mercado Santa Teresita	762.6
Plaza Propuesta en Bastión	728.9
Guasmo Norte	543.4
Trinitaria	423.7
Norte	410.9
Plaza Propuesta en Cisne II	336.7
Plaza Propuesta en San Eduardo	248.4
Sauces 4	114.0
TOTAL:	75,682.2

ESCENARIO 2 INCREMENTO DE PLAZAS DE MERCADO



Este segundo escenario tiene el propósito de encontrar el número de plazas que se deberían construir a más de las ya existentes en la ciudad, con el fin de cubrir la demanda total de los consumidores.

Se toma en cuenta este escenario debido a la planificación que el Municipio quiere hacer para ampliar su red de mercados en la ciudad.

De los resultados obtenidos con el modelo, se establece el incremento de 5 plazas de mercado nuevas, ubicadas en las áreas de desarrollo Esteros, Trinitaria, Km. 8 y medio, Bastión y Cisne II. La creación de estas nuevas plazas, implica un área para el manejo de productos, de 13,858.9 m2.

DECISIONWARE MAKING YOUR WORLD SMARTER

ESCENARIO 2 INCREMENTO DE PLAZAS DE MERCADO



PLAZAS LOGÍSTICAS "NUEVAS" ELEGIDAS POR EL MODELO

Descripción	Área para manejo de productos (m²)	
Plaza Propuesta en Esteros	7,562.0	
Plaza Propuesta en Trinitaria	4,096.0	
Plaza Propuesta en Km. 8 y medio	1,135.2	
Plaza Propuesta en Bastión	728.9	
Plaza Propuesta en Cisne II	336.7	

DECISIONWARE MAKING YOUR WORLD SMARTER

ESCENARIO 2 INCREMENTO DE PLAZAS DE MERCADO



ESTEROS TRINITARIA KM. 8 Y MEDIO BASTIÓN CISNE II

FLUJO DESDE "ENTRADA ESTE" A "PLAZAS LOGÍSTICAS"

Plaza Logística	Cantidad enviada (ton.)		
Plaza 4 Propuesta en Esteros	20,280.88		
Plaza 6 Propuesta en Trinitaria	12,071.86		
Plaza 10 Propuesta en Alborada	1.44		
La Alborada	14,847.13		
Atarazana	4,097.14		
Bastión Popular	15,948.60		
Batallón del Suburbio	17,688.33		
Las Esclusas	25,855.20		
Este	3,963.29		
Florida	10,924.98		
Garay	1,344.25		
Gran Colombia	10,630.64		
Grau Ruiz	12,111.37		
Huancavilca	6,366.60		
Jockey Club	5,004.58		
Mapasingue Oeste	9,791.49		
Mercado Santa Teresita	2,538.96		
Oeste	4,200.31		
Pascuales	4,727.45		
Portete	2,018.60		
Prosperina	12,600.84		
San Francisco	5,125.49		

FLUJO DESDE "NUEVO CAMAL" A "PLAZAS LOGÍSTICAS"

Plaza Logística	Cantidad enviada (ton.)
Plaza 7 Propuesta en Cisne II	1,475.49
Plaza 4 Propuesta en Esteros	2,649.25
Plaza 14 Propuesta en Km. 8 y medi	io 430.59
Plaza 9 Propuesta en San Eduardo	310.48
Plaza 15 Propuesta en Km. 8 y medi	
Plaza 10 Propuesta en Alborada	370.58
Bastión Popular	1,406.30
Las Esclusas	3,976.80
Florida	1,628.13
Garay	2,026.67
Plaza de Víveres Gómez Rendón	682.68
Huancavilca	979.25
Jockey Club	372.43
José Mascote	609.60
Mapasingue Oeste	154.90
Mercado Santa Teresita	797.32
Oeste	646.05
Pascuales	3,454.27
Portete	2,701.22
Prosperina	990.56
San Francisco	1,718.55
Trinitaria	1,856.78



CONCLUSIONES

- Se plantea la utilización de 3 nodos logísticos, caracterizados por su papel de descentralizar la actividad mayorista y organizarlo de una manera más eficiente en términos de costos y seguridad urbana.
- Los nodos a utilizar dentro del sistema de abastecimiento requieren un área aproximada de 66,245 m2 entre los tres, con la finalidad de recibir toda la oferta de productos provenientes de las diferentes regiones del país.
- Se determina la necesidad de reubicar el Camal Municipal por varios factores, principalmente por los costos que implica la distribución del producto hacia los distintos sectores de la ciudad, así como por situaciones de protección sanitaria en favor de la población de la urbe, lo cual se mejora al no permitir la entrada de ganado vivo para ser faenado dentro de la ciudad.
- La sección mayorista del mercado Caraguay, debe seguir funcionando como lo viene haciendo hasta ahora. No existe la necesidad de ampliar su área de trabajo, ya que abastece normalmente la demanda estimada de sus productos.
- Si se requiere redistribuir las plazas de mercado existentes en la ciudad (escenario 1), de tal forma que se pueda cubrir a la población demandante de estos centros de expendio, se debería reubicar 5 plazas, a los sectores: Trinitaria, Alborada, Bastión, Cisne II y San Eduardo.
- Si se requiere aumentar el número de plazas de mercado (escenario 2), de las que ya están construidas y funcionando, se deberían ubicar 5 plazas más en los sectores: Esteros, Trinitaria, Km. 8 y medio, Bastión y Cisne II.





GESTIÓN DE DESASTRES/EMERGENCIAS





DESASTRES

NATURALES

HUMANOS





MAKING YOUR WORLD SMARTER



ACTIVIDADES GESTIÓN DE DESASTRES

ANTES

PREPARACIÓN

DESPUÉS

RESPUESTA



Mitigación o prevención: Conjunto de medidas para prevenir el desastre o reducir su impacto.

MITIGACIÓN

Preparación: Preparar a la comunidad para responder de la mejor manera cuando un desastre ocurre.

Respuesta: El empleo de los recursos y de los procedimientos de emergencia para preservar la vida, los bienes y el medio ambiente de la comunidad, dado que el desastre está ocurriendo.

Recuperación: Conjunto de acciones a largo plazo para estabilizar la comunidad y recuperar la "normalidad".



AQUÍ Y AHORA

FUTURO

ESCENARIO H

DECISIONES SIMULADAS EVALUACIÓN POTENCIALES / RIESGOS COSTOS MITIGACIÓN PREPARACIÓN ESCENARIO 1 ESCENARIO 2 DECISIONES ANTICIPADAS MITIGACIÓN **PREPARACIÓN**



GESTIÓN DE TERREMOTOS EN SEATTLE



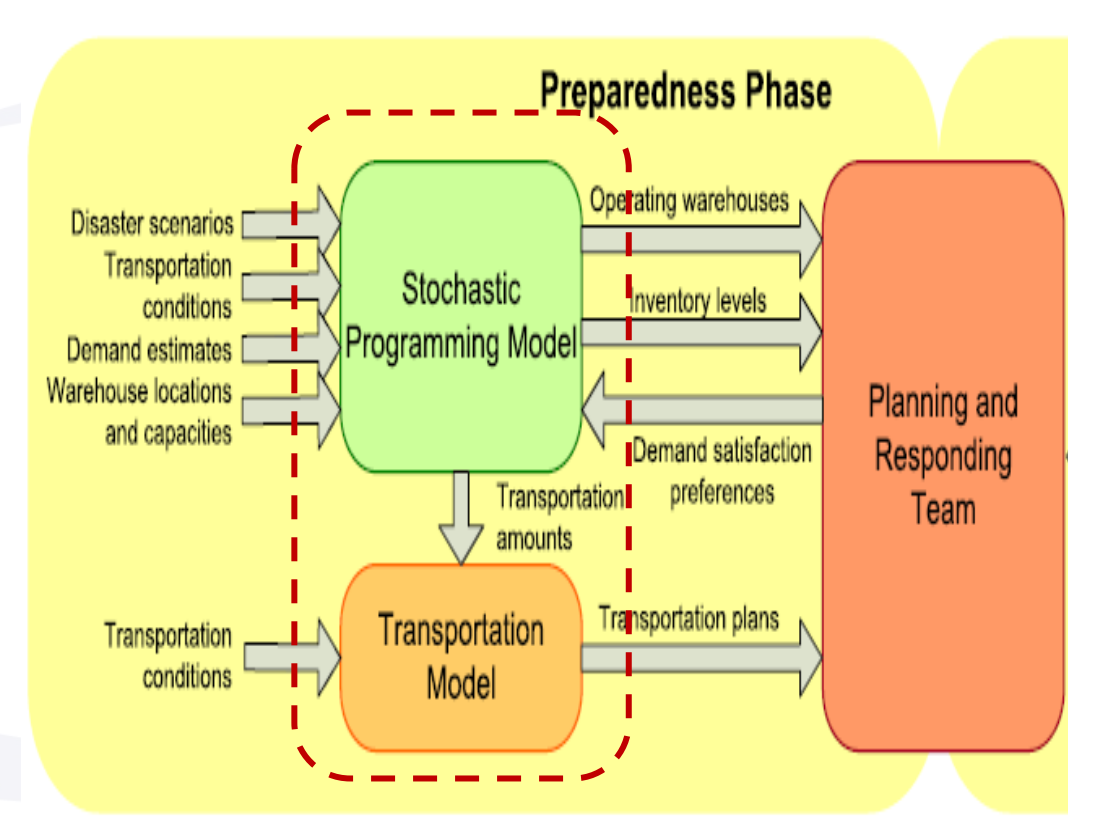




PACIFIC RIM VISUALIZATION AND ANALYTICS CENTER (PARVAC)

- GOSIR: Plataforma de modelos matemáticos y algoritmos numéricos para el soporte de decisiones en la gestión de emergencias.
- JITC3: Just-in-time mobile command and control environment. Puesto de mando para el despliegue de personal en respuesta de emergencias, para optimizar el flujo de información sobre la emergencia y la respuesta durante un evento emergente.
- RIMSIM: First response simulator for common Pacific Rim Threats. Software basado en un sistema modular para simular las primeras comunicaciones de respuesta, los artefactos comunes y las acciones de respuesta con el fin de evaluar y mejorar el nivel de conocimiento distribuido.
- **VISSEARCH:** Sistema de ayuda a la búsqueda visual por intermedio de estrategias de detección de imágenes/patrones y mediación tecnológica.





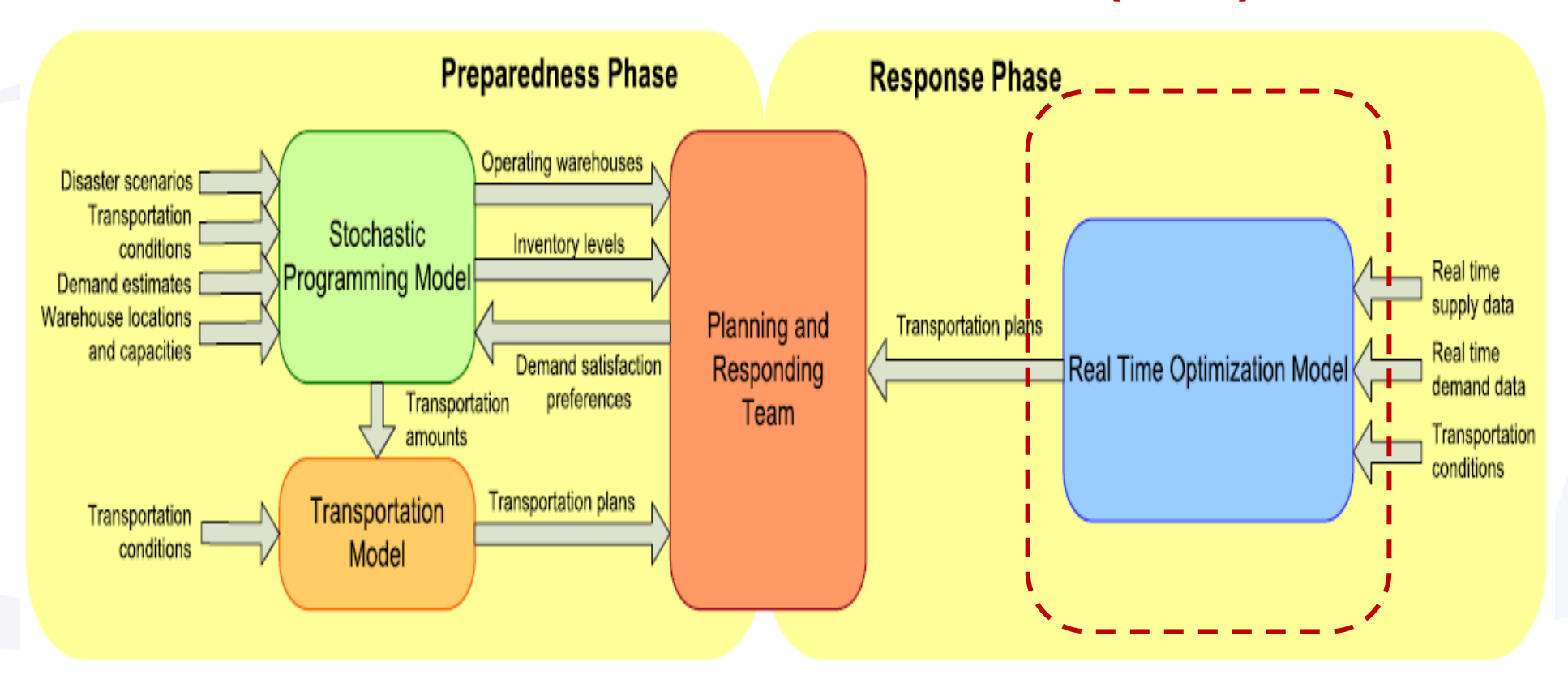
Modelo de Optimización Estocástica (por escenarios)

- Selección de bodegas
- Determina el nivel de inventario balanceando el riesgo de los desastres con la entrega a tiempo de suministros.

Modelo de Transporte

Transforma las ordenes de transporte en asignación óptima y ruteo de vehículos





Modelo de Optimización en Tiempo Real

 Da como resultado la asignación y ruteo de vehículos con la información actualizada de las condiciones de transporte y la demanda actual, y la información de suministros.



Los sistemas de soporte de decisión para la preparación y respuesta de un desastre son desafiantes por:

- Incertidumbre de los eventos; y
- Dificultad para obtener datos en tiempo real.

GOSIR desarrollo modelos de optimización para la localización y la asignación de suministros médicos para ser utilizados en las emergencias para la región de Seattle

La distribución de suministros requiere una serie de decisiones:

- Antes del evento
 - Localización de bodegas; y
 - Niveles de inventario de los suministros médicos.
- Después del desastre,
 - Asignación optimizada de suministros médicos a hospitales para reducir el tiempo de entrega.

DESEMPLEO

CORONAVIRUS

MATHEMATICAL MODELS FOR EPIDEMIC CONTROL POLICIES

EPIDEMIC & SOCIO-ECONOMY MODEL

VIDEO WEBINAR

https://www.facebook.com/100014972564724/videos/843099866199091





Susceptible Exposed-Infected-Recovered (SEIR) Dynamic Semi-Markov Chain Optimization Model — Economic Impact



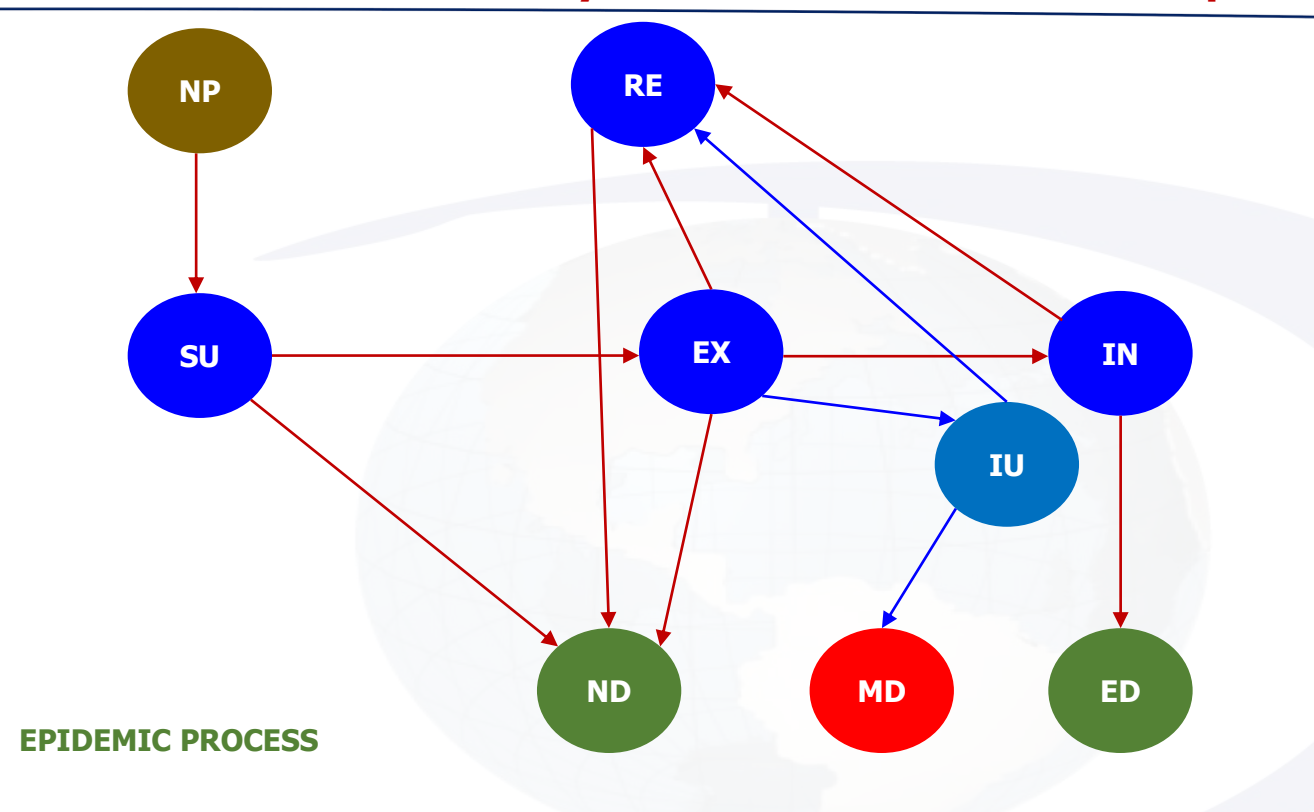
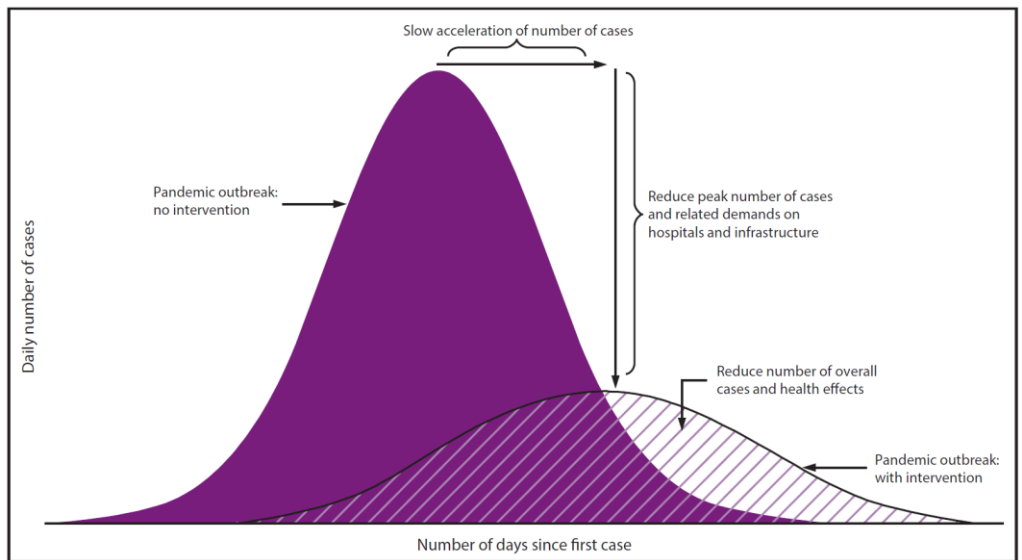


FIGURE 1. Goals of community mitigation for pandemic influenza



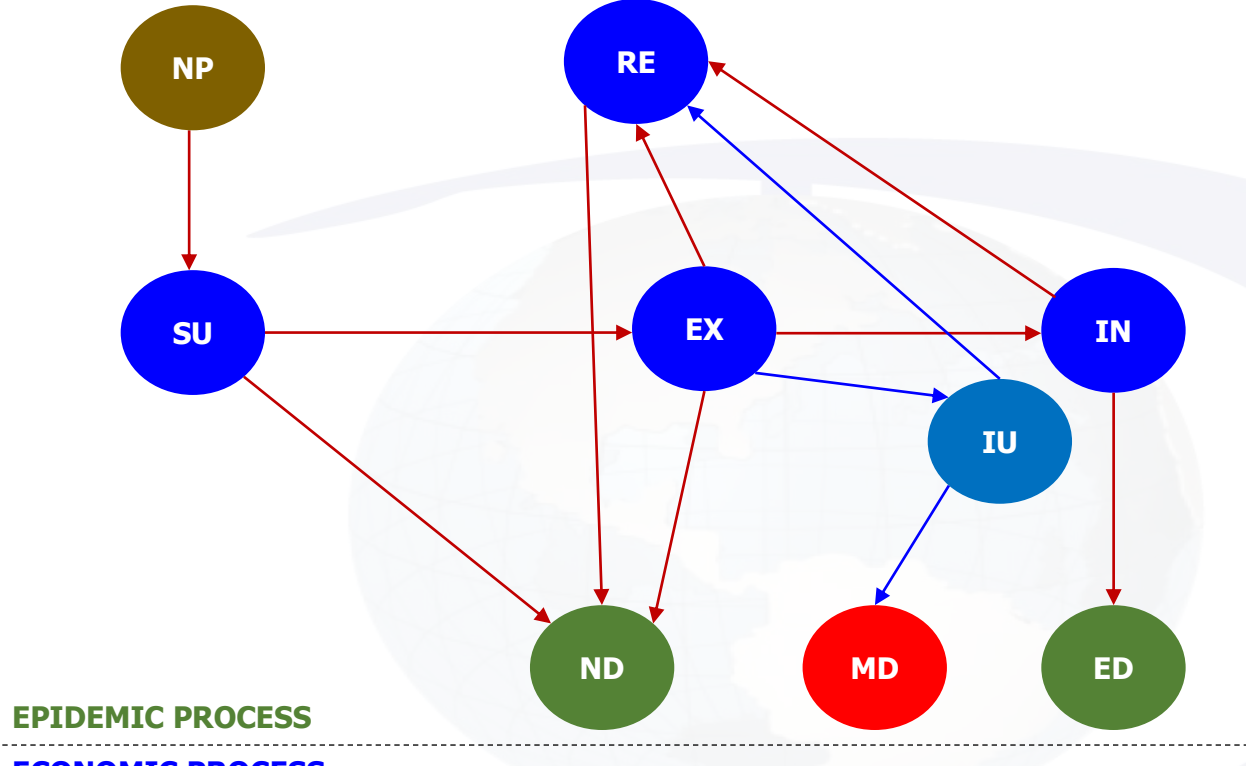
Source: Adapted from: CDC. Interim pre-pandemic planning guidance: community strategy for pandemic influenza mitigation in the United States—early, targeted, layered use of nonpharmaceutical interventions. Atlanta, GA: US Department of Health and Human Services, CDC; 2007. https://stacks.cdc.gov/view/cdc/11425.

DECISIONWARE MAKING YOUR WORLD SMARTER



Susceptible Exposed-Infected-Recovered (SEIR) Dynamic Semi-Markov Chain Optimization Model — Economic Impact





ECONOMIC PROCESS





















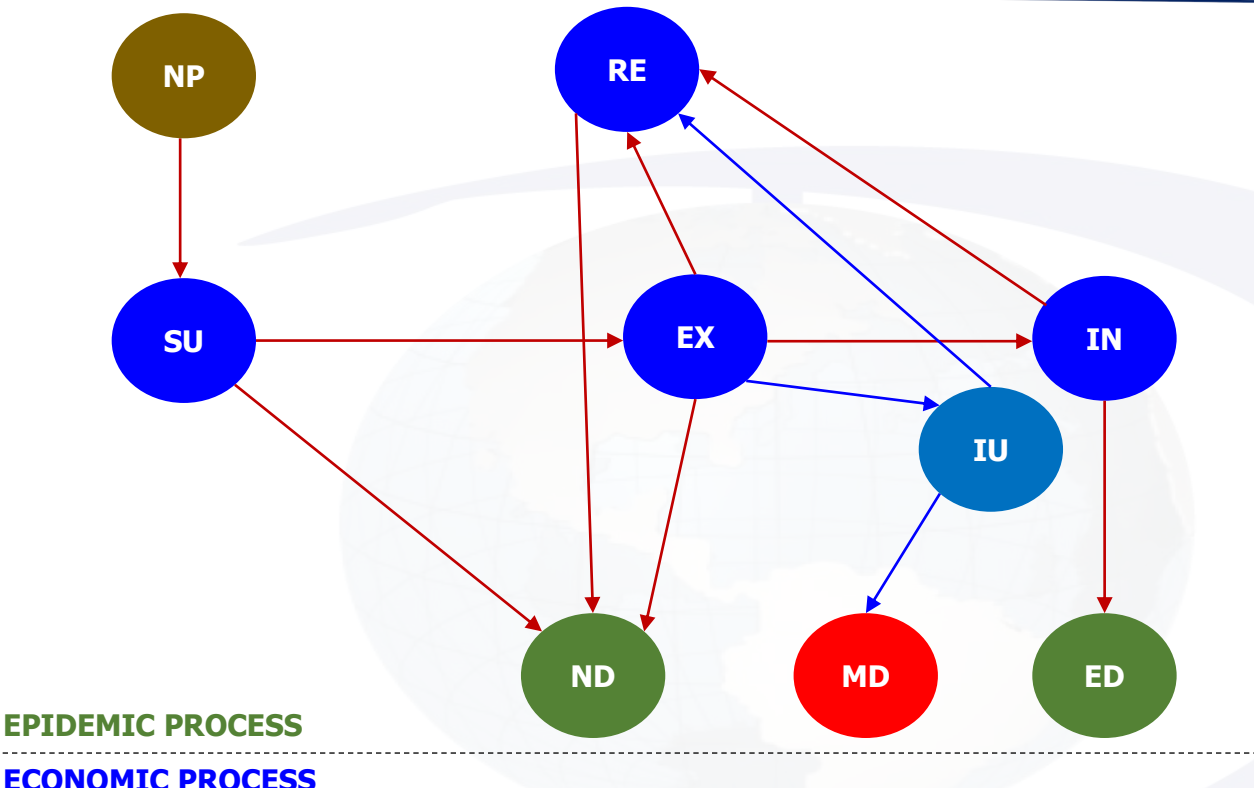






Susceptible Exposed-Infected-Recovered (SEIR) Dynamic Semi-Markov Chain Optimization Model – Economic Impact





ECONOMIC PROCESS















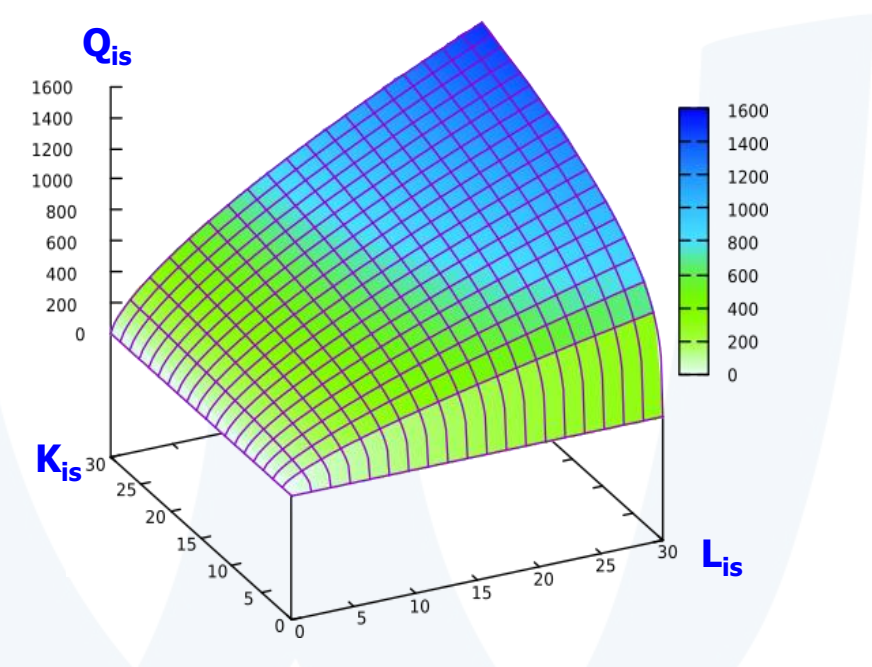












 $\mathbf{Q}_{is} = \mathbf{FPC}_{is}(\mathbf{K}_{is}, \mathbf{L}_{is}, \mathbf{T}_{is}) = \alpha_{is} \times \mathbf{L}_{is}^{\beta_{is}} \times \mathbf{K}_{is}^{\delta_{is}} \times \mathbf{T}_{is}^{\theta_{is}}$

Technology Labor **Capital**

Kis

Production

 \mathbf{Q}_{is}

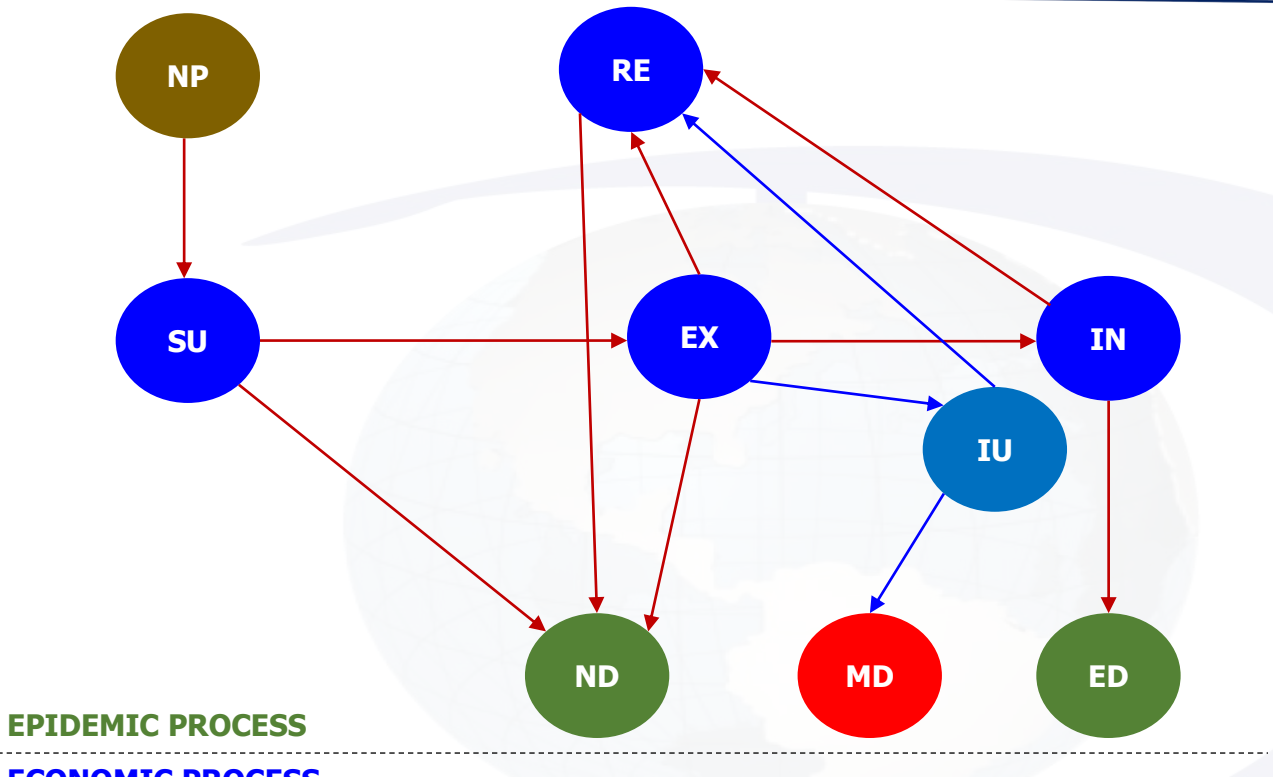
Parameters

 α_{is} , β_{is} , δ_{is} , θ_{is}



Susceptible Exposed-Infected-Recovered (SEIR) Dynamic Semi-Markov Chain Optimization Model — Economic Impact





	Sector Agrícola	Sector Industrial	Sector Servicios	Demanda Final	Producción Total
Producción Agrícola	40	80	20	150	290
Producción Industrial	85	100	50	200	435
Producción de Servicios	15	165	110	260	550

ECONOMIC PROCESS





















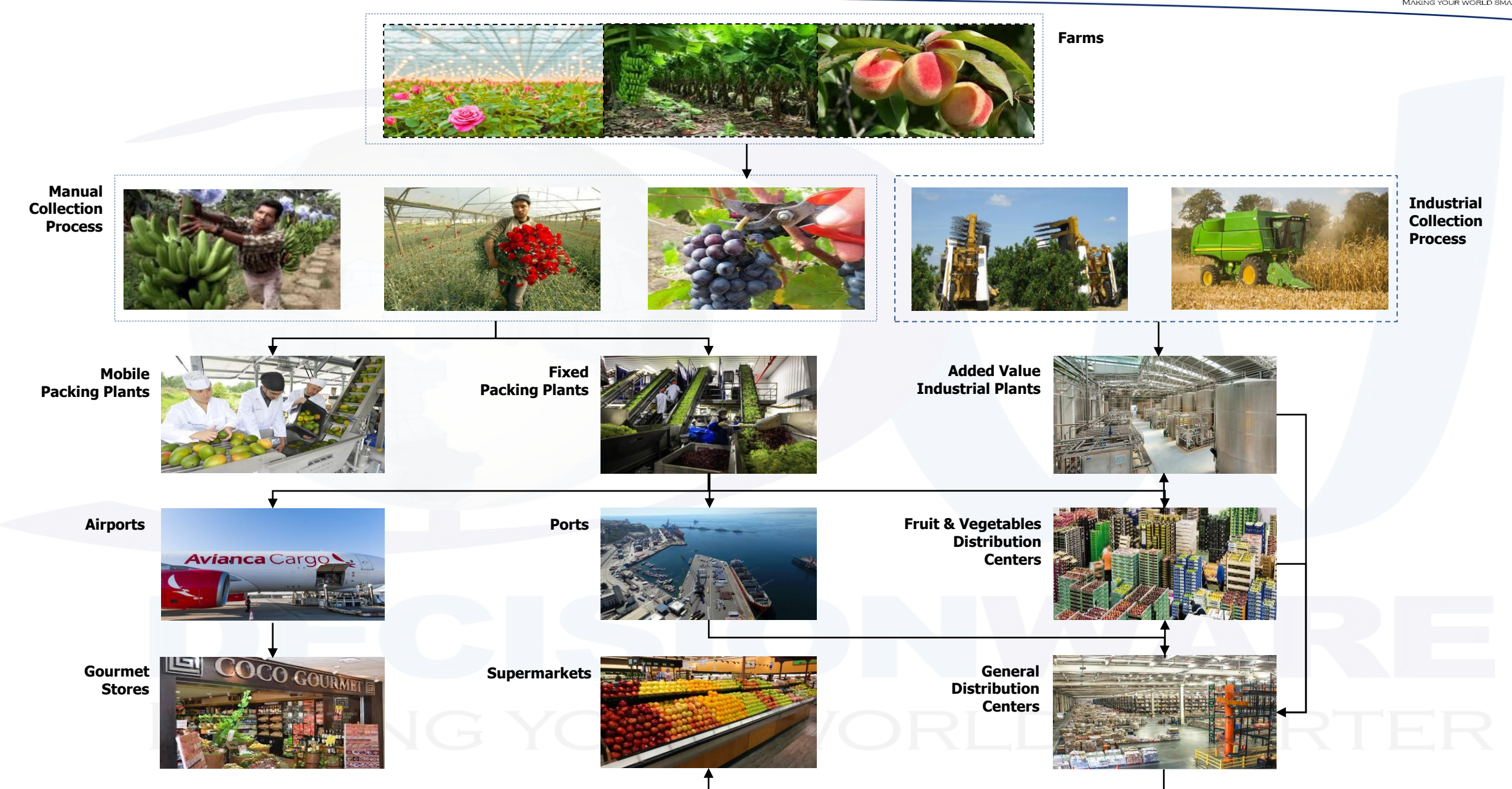






AGRICOLA'S PRODUCTS PRODUCTION & DISTRIBUTION NETWORK





ANIMALS PRODUCTS PRODUCTION & DISTRIBUTION NETWORK







EPILOGO PORQUE MODELOS BASADOS EN PROGRAMACIÓN MATEMÁTICA ?





PORQUE MODELOS BASADOS EN PROGRAMACIÓN MATEMÁTICA ?

- EL USO DE LA TIERRA ES COMPLEJO Y ESTA CONECTADO GLOBALMENTE
- PRECISA CONTABILIZACION DE LOS RECURSOS DISPONIBLES
- ALTA PRECISIÓN Y LARGOS PERIODOS DE SIMULACIÓN
- MODELOS BASADOS EN EL COMPORTAMIENTO MACRO-ECONÓMICO
- MODELOS DETALLADOS BASADOS EN EL RAZONAMIENTO CIENTÍFICO
- POCA INFLUENCIA DE LA INTUICION EN LOS RESULTADOS
- POCA INFLUENCIA DE LAS EXPECTATIVAS DEL MODELADOR EN LOS RESULTADOS



PORQUE MODELOS BASADOS EN PROGRAMACIÓN MATEMÁTICA ?

- MEJOR DISPONIBILIDAD DE DATOS
- DESCUBREN COMPORTAMIENTOS IMPREVISTOS DIFÍCILES DE ADIVINAR
- MAYOR PROBABILIDAD DE DESCUBRIR ERRORES
- FORMULACIONES ESTANDARIZADAS, FACILMENTE SOCIALIZABLES
- LOS MODELOS DE PROGRAMACIÓN MATEMÁTICA DE GRAN ESCALA NO SON CAJAS NEGRAS
- TRANSPARENCIA: LA FORMULACIÓN DE LOS MODELOS Y LOS RESULTADOS DETALLADOS PUEDEN RASTREARSE Y ENTENDERSE
- EL ANÁLISIS SISTEMÁTICO DE LOS RESULTADOS ES MUCHO MEJOR Y MÁS RÁPIDO QUE LA INTUICIÓN Y QUE LAS SUPOSICIONES BASADAS EN LA EXPERIENCIA





COMPETITIVIDAD

es el resultado de la suma de tres productividades:

TECNOLÓGICA: eficacia de los procesos industriales;

ECONÓMICA: eficacia en el acceso a los mercados;

GERENCIAL: eficacia del proceso de toma de decisiones.

DECASIONE VIORED SMARTER





COMPETITIVIDAD

es el resultado de la suma de tres productividades:

TECNOLÓGICA: eficacia de los procesos industriales;

ECONÓMICA: eficacia en el acceso a los mercados;

GERENCIAL: eficacia del proceso de toma de decisiones.

LA PRODUCTIVIDAD GERENCIAL
MANEJA DEL ORDEN DEL
15% DE LOS COSTOS Y ES EL RESULTADO
DEL USO DE ANALYTICS





GRACIAS!!!

Ing. Jesús M. Velásquez Bermúdez, Eng. D. Director Científico DecisionWare

jesus.velasquez@decisionware.net

La noción del compromiso que cada generación tiene con sus sucesores está en el corazón del concepto de desarrollo sostenible, el cual fue plasmado por la World Commission on Environment and Development (Brundtland Comisión, WCED 1987) en su informe "Our Common Future" que afirma que

el desarrollo sostenible "satisface las necesidades de la presente generación sin comprometer las posibilidades de las futuras generaciones para satisfacer sus propias necesidades".

Esto solo se consigue con el uso racional (científico) de los recursos naturales, renovables y no-renovables, cuya gestión óptima y eficaz es responsabilidad de los gobernantes y de todos sus asesores.



CIUDADES Y REGIONES INTELIGENTES: MODELAMIENTO MATEMÁTICO INTEGRADO DE LA ECONOMÍA, LA GESTIÓN Y LA LOGÍSTICA

SMART CITIES AND REGIONS:

INTEGRATED MATHEMATICAL MODELING OF ECONOMICS, MANAGEMENT AND LOGISTICS